

DIAGNÓSTICO SOCIOAMBIENTAL POR MICROBACIA HIDROGRÁFICA (DSMH)

MICROBACIA 15-2

Joinville - SC 2025











EQUIPE TÉCNICA

Nome: Eder Corbari

Formação: Engenheiro Ambiental

CREA/SC: 091317-7

Nome: Marjorye Otilia Nunes da Silva

Formação: Bióloga

CRBio: 81150/03-D

Nome: Jéssica Siqueira de Oliveira

Formação: Arquiteta e Urbanista

CAU/BR: 2344017

Nome: Nathanie Vitória Ribeiro Hirt

Formação: Bióloga

Função: Analista Ambiental

Nome: Milena Carolini Tillmann

Formação: Bióloga

Função: Analista Ambiental













1.0	INT	ROD	UÇAO	5
B 1	1 ACIA H 2 3	HIDRO ÁRE	OMINAÇÃO E CÓDIGO DA MICROBACIA, LOCALIZAÇÃO EM RELAÇÃO AO M UNICÍPIO, BACIA OGRÁFICA A TOTAL DA MICROBACIA E EXTENSÃO DOS CORPOS HÍDRICOS ETIVOS DO ESTUDO	5 7
2.0	DIA	GNĆ	ÓSTICO	9
	2.1 2.2 2.2.	Inun	OS DE OCUPAÇÃO URBANA CONSOLIDADA À MARGEM DE CORPOS D'ÁGUA NDAÇÃO, ESTABILIDADE E PROCESSOS EROSIVOS SOBRE MARGENS DE CORPOS D'ÁGUA Identificação das áreas consideradas passíveis de inundações dentro a 11	11
	2.2.	2	Identificação das áreas consideradas de risco geológico-geotécnico às m	argens
	dos	corp	oos d'água	13
	2.2.	3	Quadro dos indicativos das áreas de inundação e de risco geológico-geológico	técnico
2	2.3	INFO	DRMAÇÕES SOBRE A FLORA	17
	2.3.	1	Caracterização da vegetação existente na área do estudo	17
	2.3.	2	Identificação das áreas de restrições ambientais	20
	2.3.	3	Mapeamento das áreas de restrições ambientais	20
	2.3.	4	Quadro de quantitativo das áreas de vegetação	20
2	2.4 2.4.		ORMAÇÕES SOBRE A FAUNA Caracterização da fauna existente nos trechos e nas áreas vegetadas	
	2.4.	2	Tabela indicando as espécies e grau de ameaça em listas estaduais e fe	ederais
2	2.5 2.5.		SENÇA DE INFRAESTRUTURA E EQUIPAMENTOS PÚBLICOS	
	pre.	sente	es na microbacia hidrográfica 15-2	24
	2.6 OCIOE		ÂMETROS INDICATIVOS AMBIENTAIS E URBANÍSTICOS, HISTÓRICO OCUPACIONAL E	
3.0	EST	UDC	DOS QUADRANTES	37
4 0	ΔΝ	ΔΠΟΙ	F F DISCUSSÃO	42











			500,000,000			
4.1	Composição da matriz de impactos conforme simulações de	CENÁI	RIOS E AF	LICAÇÃO	DE	
CRITÉR	IOS CONFORME METODOLOGIA DE PERINI ET AL. 2021				.42	
4.2	ANÁLISE E DISCUSSÃO DOS RESULTADOS DA MATRIZ DE IMPACTOS				.42	
4.2	1 Trecho aberto com vegetação isolada ou inexistente en	n mei	o antroi	nizado	42	

	4.2.1	Trecho aberto com vegetação isolada ou inexistente em meio antropizado42
	4.2.2	Trecho tubulado43
4.	.3 Aná <i>4.3.1</i>	LISE E DISCUSSÃO DOS RESULTADOS DA MATRIZ DE IMPACTOS QUANTO À:43 Atestado da perda das funções ecológicas inerentes às Áreas de Preservação
	Perman	entes (APPs)43
	4.3.2	Demonstração da irreversibilidade da situação, por ser inviável, na prática, a
	recuper	ação da área de preservação44
	4.3.3	Constatação da irrelevância dos efeitos positivos que poderiam ser gerados
	com a o	bservância da área de proteção, em relação a novas obras45
5.0	CONSID	ERAÇÕES FINAIS46
5.	.1 Con <i>5.1.1</i>	CLUSÃO QUANTO AO ATENDIMENTO DO ART.6º DA LEI COMPLEMENTAR № 601/202246 Tabela de atributos
	5.1.2	Mapa com a caracterização dos trechos de corpos d'água na microbacia em
	estudo	48
5.	.2 Obs	ervações e Recomendações
6.0	RESPON	ISABILIDADE TÉCNICA50

7.0 REFERÊNCIAS BIBLIOGRÁFICAS51

8.0 ANEXOS......54









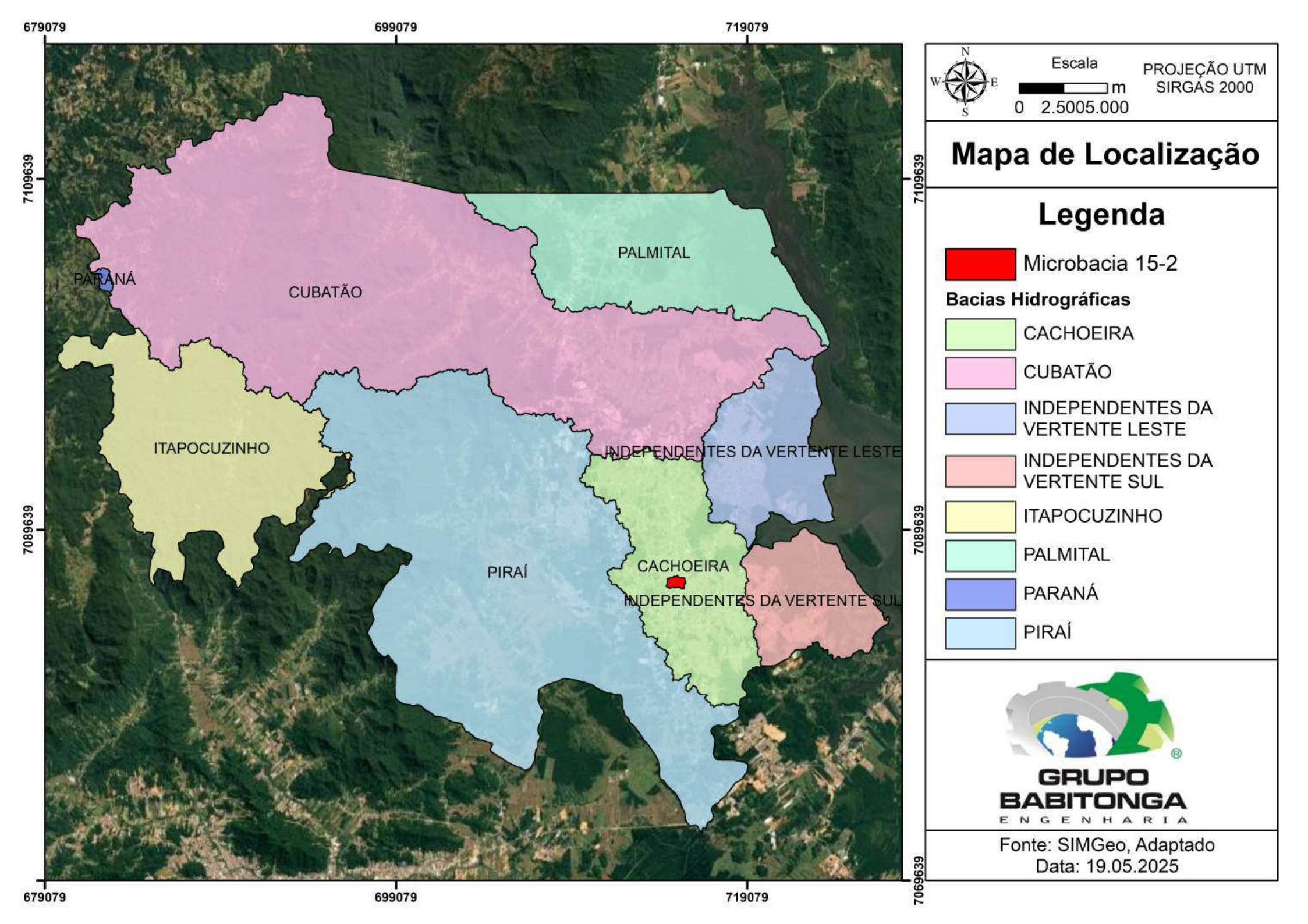




1.1 Denominação e código da microbacia, localização em relação ao Município, bacia e sub-bacia hidrográfica

Os corpos hídricos objeto deste estudo compõem a Microbacia Hidrográfica de código 15-2, microbacia Rio Bucarein, que faz parte da Sub bacia Rio Bucarein e da Bacia Hidrográfica do Rio Cachoeira, conforme mapa de localização apresentado a seguir.

A Bacia Hidrográfica do Rio Cachoeira abrange uma área de 81,4 km², com um perímetro de 59,2 km, no qual seu rio principal possui extensão de 16 km. Os principais afluentes do Rio Piraí são: Rio Itaum, Rio Itaum-mirim, Rio Bucarein, Rio Jaguarão, Rio Morro Alto e Rio Mathias (OLIVEIRA *et al.*, 2017).







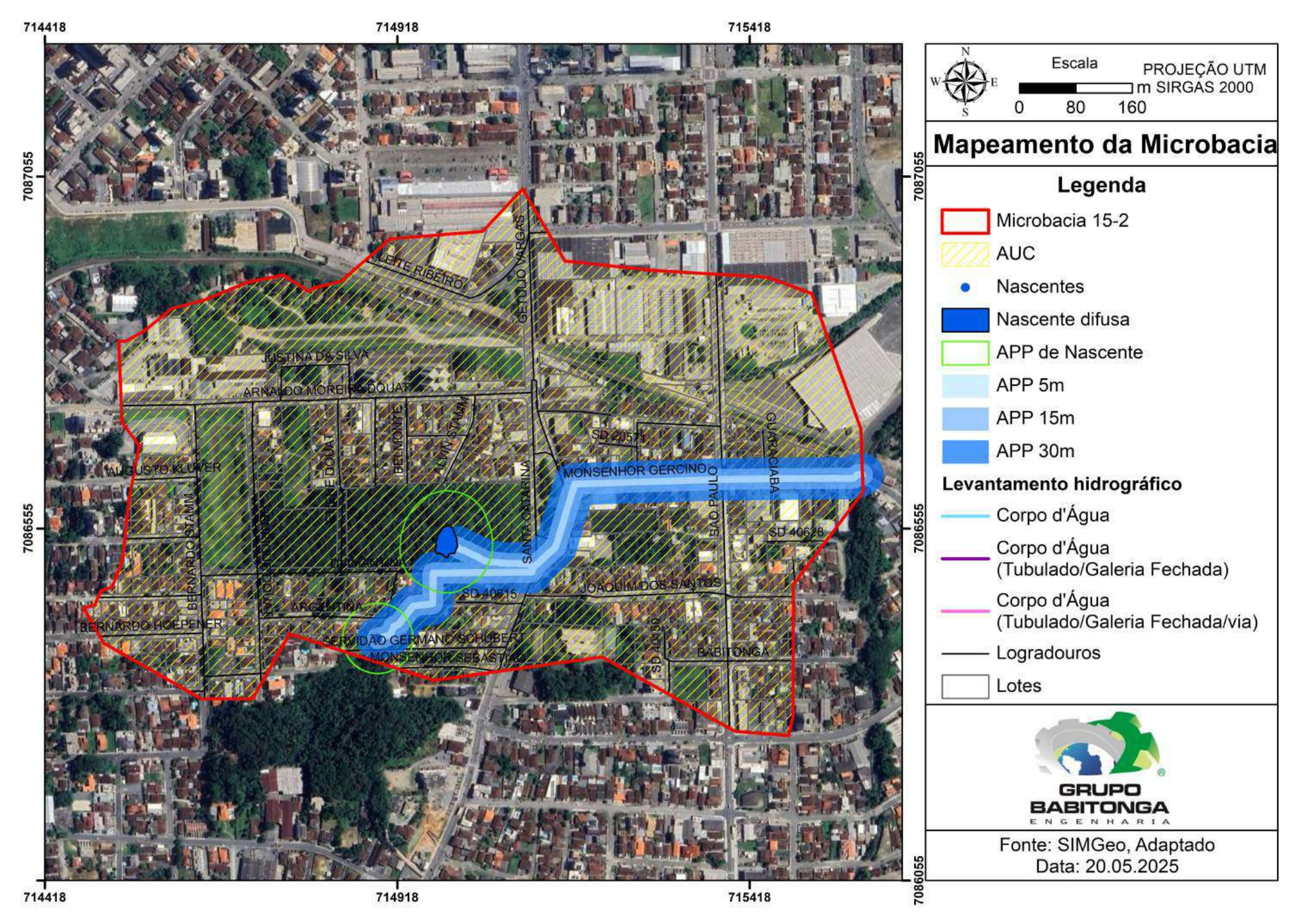






1.2 Área total da microbacia e extensão dos corpos hídricos

A microbacia de código 15-2 possui uma área total de 586.399,27 m² (0,58 km²) e 960,16 metros lineares de extensão total de corpos hídricos, com trechos abertos em áreas urbanizadas com vegetação isolada, trechos abertos em áreas urbanizadas com vegetação densa e em trechos de rios tubulados localizados entre lotes e sob vias públicas, conforme mapa do mapeamento da microbacia apresentado na sequência.















O objetivo do estudo é fornecer um diagnóstico robusto das condições urbanoambientais da ocupação da área de APP na microbacia 15-2, com o intuito de identificar as áreas em que existe, ou não, função ambiental da APP na Área Urbana Consolidada.

2.0 DIAGNÓSTICO

2.1 Dados de ocupação urbana consolidada à margem de corpos d'água

Foi realizado o levantamento de dados da ocupação às margens dos corpos d'água na Área Urbana Consolidada (AUC) a fim de obter o equivalente relativo ao percentual total considerado como de preservação permanente no art. 4º da Lei 12.651/12. O diagnóstico considerou as faixas marginais de 0 a 30 metros em toda a extensão da área urbana, em trechos abertos e fechados, entre lotes e sob vias públicas conforme demonstrado nos quadros a seguir.

Quadro 1: Comprimento dos corpos d'água.

Levantamento Hidrográfico	Metros lineares	Percentual em relação ao comprimento total
Corpo d'água na microbacia (extensão total)	960,16	100%
Corpo d'água aberto em vegetação densa	76,71	7,99%
Corpo d'água aberto em vegetação isolada e/ou desprovida de vegetação	68,65	7,15%
Corpo d'água aberto entre lotes (área edificada)	0,00	0,00%
Corpo d'água fechado em vegetação densa	0,00	0,00%
Corpo d'água fechado em vegetação isolada e/ou desprovida de vegetação	15,74	1,64%
Corpo d'água fechado entre lotes (área edificada)	86,74	9,03%
Corpo d'água fechado sob via pública	712,32	74,19%

Observa-se que o percentual de trechos abertos (15,14%) é menor que o de trechos tubulados (84,86%). Os trechos tubulados estão localizados na porção de ocupação densamente urbanizada, sendo que, frente à extensão total da microbacia, 9,03% está tubulado entre lotes e 74,19% está tubulado sob via pública.











Do total de trechos tubulados na microbacia, 87,72% estão sob via pública e configuram obras de infraestrutura de utilidade pública. Por outro lado, na outra fração, de trechos de corpos hídricos com canal aberto, 100% estão localizados no ambiente urbanizado com vegetação isolada ou desprovida de vegetação nas suas margens, que é equivalente a 7,15% frente à extensão total da microbacia.

Diante da Lei Complementar nº 601/2022, que estabelece as diretrizes para aplicação de faixas marginais distintas na Área Urbana Consolidada, realizou-se o cálculo das projeções de faixas de 0 a 5 m, 0 a 15 m e 0 a 30 m (limite da APP para a microbacia em estudo), para análise e discussão quanto às funções ambientais de cada trecho da microbacia 15-2, conforme quadro abaixo.

Quadro 2: Dimensões das áreas de abrangência de APP, relativo à área total da microbacia.

Áreas	m²	Percentual em relação à microbacia
Área total da microbacia	586.399,27	100%
Área total compreendida entre 0 e 5 m de abrangência da FNE às margens dos corpos d'água	9.568,44	1,63%
Área total compreendida entre 0 e 15 m de abrangência da FNE às margens dos corpos d'água	27.947,93	4,77%
Área total compreendida entre 0 até o limite da projeção da faixa de APP às margens dos corpos d'água		9,43%
Área por uso e ocupação:	m²	Percentual em relação à área total compreendida entre 0 até o limite da projeção da faixa de APP.
Área compreendida de 0 até o limite da projeção da faixa de APP, inserida em Área Urbana Consolidada		100,00%











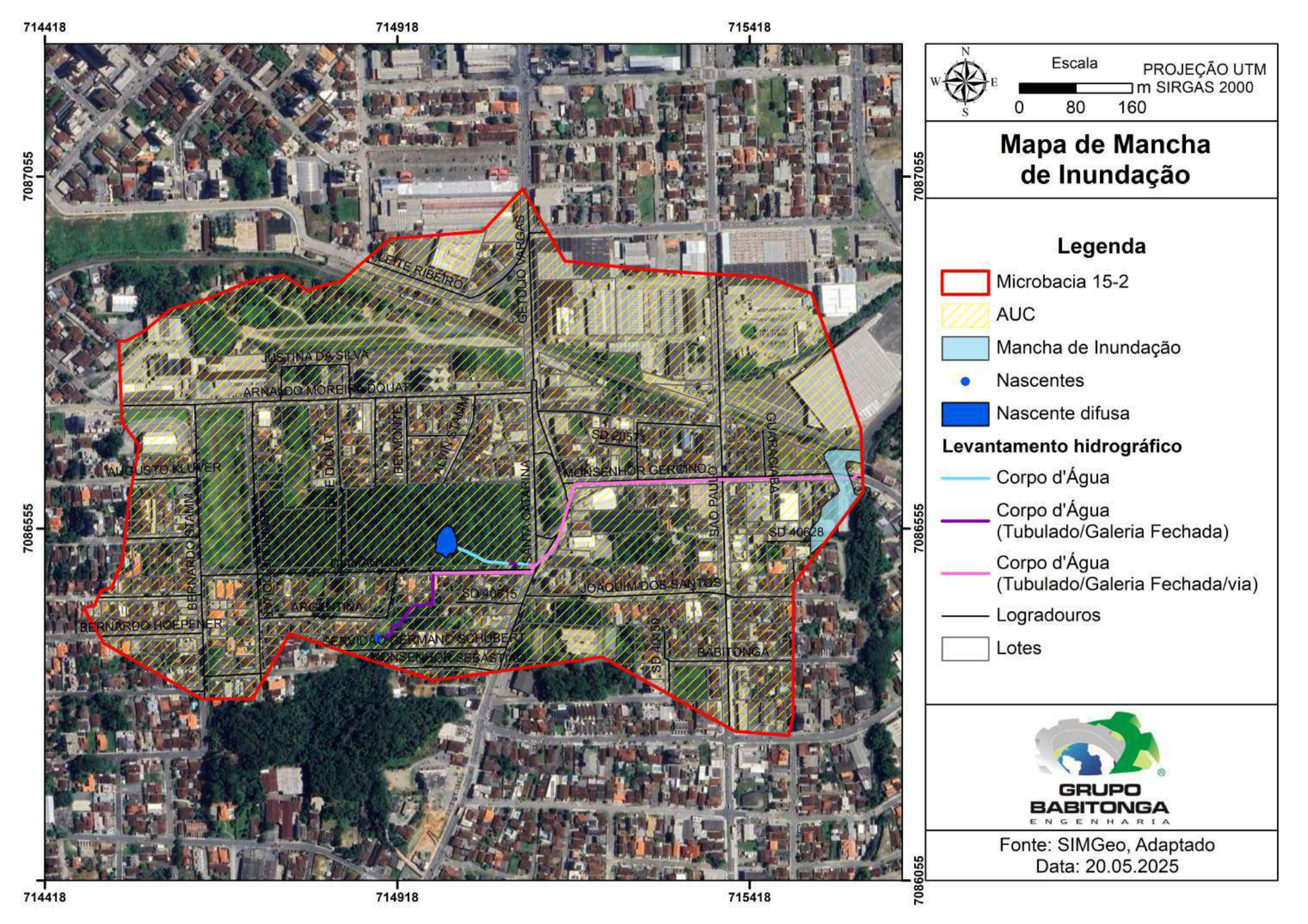
Quadro 3: Áreas edificadas nas faixas marginais dos corpos d'água em canal aberto e fechado.

Áreas edificadas nas faixas marginais dos corpos hídricos				
Quadro das áreas totais edificadas	m²	Percentual em relação à área total indicada		
Área total edificada de 0 a 5 m de projeção da FNE	1.604,67	100%		
Área total edificada de 0 a 5 m de projeção da FNE em Trecho Aberto	0,00	0,00%		
Área total edificada de 0 a 5 m de projeção da FNE em Trecho Fechado	1.604,67	100,00%		
Área total edificada de 0 a 15 m de projeção da FNE	12.157,20	100%		
Área total edificada de 0 a 15 m de projeção da FNE em Trecho Aberto	0,00	0,00%		
Área total edificada de 0 a 15 m de projeção da FNE em Trecho Fechado	12.157,20	100,00%		
Área total edificada de 0 até o limite da projeção da faixa de APP	17.829,98	100%		
Área total edificada de 0 até o limite da projeção da faixa de APP em Trecho Aberto	1.721,94	9,66%		
Área total edificada de 0 até o limite da projeção da faixa de APP em Trecho Fechado	16.108,05	90,34%		

Dentre os 1.604,67 m² de faixa considerada entre 0 a 5 metros de FNE, pode-se dizer que 16,77% desta área já está edificada. Considerando a área total de 12.157,20 m² de FNE de 0 a 15 metros, observa-se que 43,50% desta faixa está edificada. Já com relação a área total de 17.829,98 m² de APP, observa-se que 32,23% desta faixa está edificada. Outra observação importante é quanto aos corpos d'água que estão tubulados, sendo que 100% dos trechos de 0 a 5 metros e de 0 a 15 metros estão nessa situação.

2.2 Inundação, estabilidade e processos erosivos sobre margens de corpos d'água 2.2.1 Identificação das áreas consideradas passíveis de inundações dentro da AUC

As faixas marginais de rios estão sujeitas à ação natural de processos e dinâmica superficial terrestre. Dentre elas, destaca-se as cheias que atingem áreas de cotas inferiores. De acordo com o Mapeamento da Base de Dados do Levantamento Hidrográfico do Município de Joinville, observa-se que na região leste da bacia uma área passível de inundação, conforme mapa abaixo.









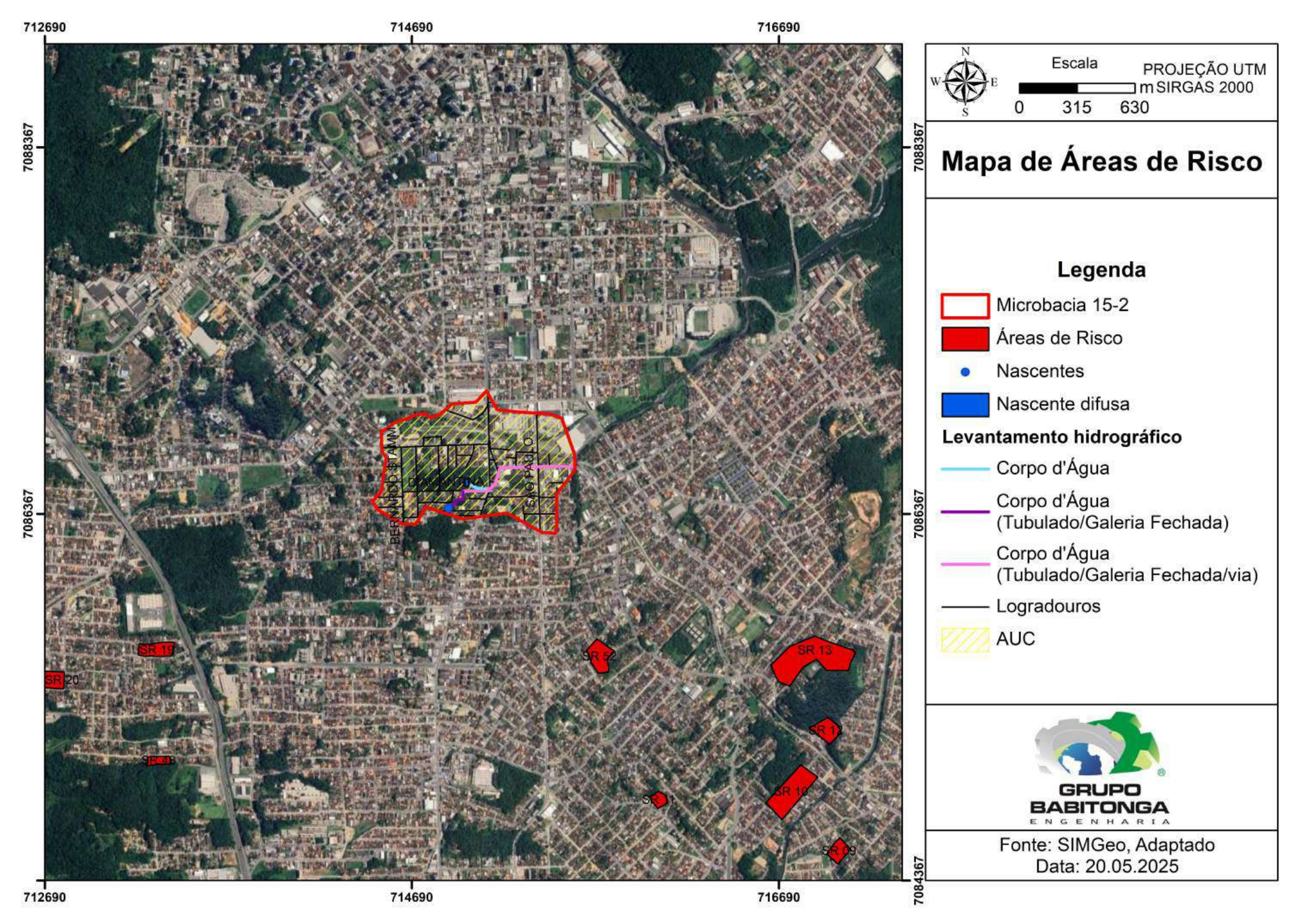




2.2.2 Identificação das áreas consideradas de risco geológico-geotécnico às margens dos corpos d'água

Nas erosões urbanas tem-se o solo mobilizado por agentes de transporte e depositado em pontos de menor energia, causando danos ambientais e econômicos, os quais são representados principalmente pela formação de ravinas, voçorocas e assoreamento de leitos de rios e redes de drenagem pluvial. Para a mitigação dos riscos ambientais decorrentes, faz-se necessária a constante remoção de material para a manutenção do escoamento hídrico e quando instaurados os processos erosivos, a estabilidade marginal é comprometida, podendo gerar o solapamento de margens e a dificuldade na vazão do curso hídrico, sendo necessárias obras geotécnicas e de infraestrutura para a recomposição da estabilidade do terreno e do escoamento hídrico, minimizando eventos adversos.

Na área da microbacia em estudo, não é observada nenhuma Área de Risco Geológico-Geotécnico (Figura 4), apenas próximas da mesma a SR-13, SR-19 e SR-52 que não se encontram sobre nenhuma FNE da microbacia em estudo.













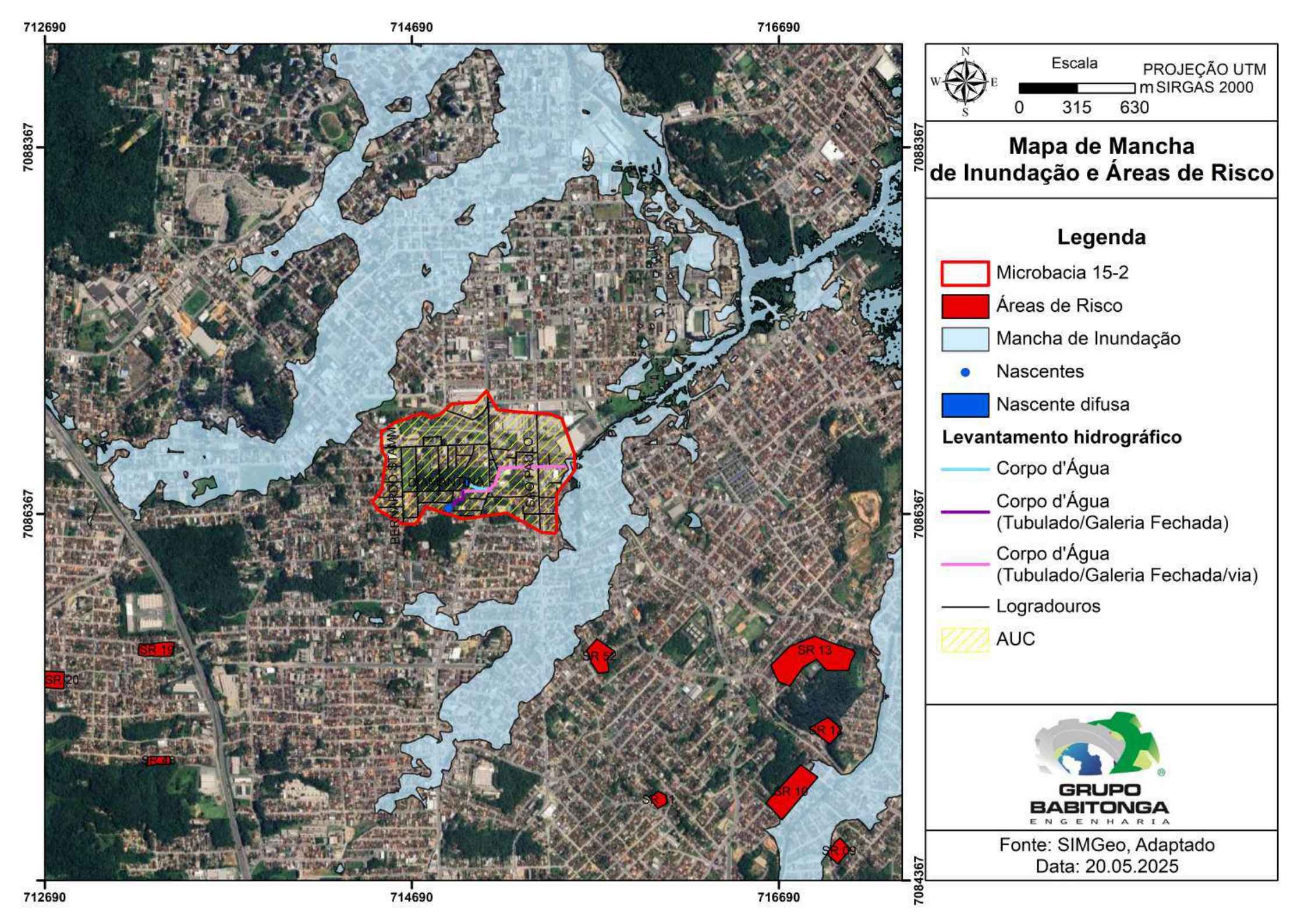


2.2.3 Quadro dos indicativos das áreas de inundação e de risco geológico-geotécnico

Quadro 4: Inundação e risco geológico-geotécnico na microbacia 15-2.

Indicativos Ambientais					
Quadro das Áreas	m²	Percentual em relação à área total da microbacia na projeção de APP			
Área sob risco geológico para movimento de massa na projeção de APP às margens dos corpos d'água	0,00	0%			
Área suscetível à inundação na projeção de APP às margens dos corpos d'água	1.971,84	3,56%			

Quanto às áreas de risco geológico-geotécnico, 3,56% está sobre os trechos de APP da microbacia em estudo.















2.3.1 Caracterização da vegetação existente na área do estudo

O município de Joinville se desenvolveu em uma planície situada entre a Floresta Atlântica da Serra do Mar e a Baía da Babitonga (PMMA, 2020), no qual compreende um agrupamento de vegetação denominado Mata Atlântica, destacando-se também os manguezais e os Campos de Altitude. A floresta ombrófila, que para muitos autores é a Mata Atlântica propriamente dita, é uma típica floresta pluvial tropical (BROWN, 1987).

Esta floresta ocupa a faixa litorânea até a cota máxima de 1.000 metros, originalmente estendendo-se por aproximadamente três mil quilômetros ao longo de toda a costa brasileira (FUNDAÇÃO SOS MATA ATLÂNTICA, 1998). Os remanescentes mais preservados de floresta situam-se principalmente nas encostas mais íngremes da Serra do Mar e em vales profundos e estreitos, locais esses onde são encontrados fragmentos de floresta primária, pois sua dificuldade de acesso proporciona uma maior proteção natural contra a exploração da madeira (PMJ, 2018).

Segundo Klein (1978), a Floresta Ombrófila Densa ocupava originalmente 31% da área total do estado, tendo a sua ocorrência na quase totalidade do Município de Joinville, existindo apenas uma pequena porção mais a oeste, considerada de transição com a Floresta Ombrófila Mista (FOM), conhecida como Floresta com Araucária. Deste modo, Joinville apresenta uma característica bastante distinta de outros municípios de ocorrência da Mata Atlântica, por apresentar quase a totalidade das fitofisionomias características desse ecossistema, além de apresentar ecossistemas associados (manguezal e restinga), refúgios vegetacionais e contatos florísticos (PMMA, 2020).

A vegetação existente na área de estudo é do bioma Mata Atlântica, com formação florestal do tipo Floresta Ombrófila Densa. Nos locais ora analisados, constatou-se a presença de vegetação densa de mata nativa, no contexto de fragmentos de vegetação, assim como, vegetação arbórea isolada e herbáceas e arbustiva do tipo ruderal, em áreas com elevado grau de antropização e utilização do solo.











A área total vegetada estimada é de 94.852,88 m², considerando a soma das áreas

de vegetação densa e das áreas com vegetação herbácea, arbustiva e com árvores isoladas.

É possível concluir que uma das nascentes presente está na faixa de APP de vegetação densa, enquanto a outra encontra-se na faixa de APP de vegetação isolada/herbácea, sendo que ambas estão presente na Área Urbana Consolidada (AUC),

sendo que os cursos hídricos, em AUC, já se encontram desprovidos de vegetação em função

das canalizações e edificações.

Cabe destacar ainda, que nessas áreas já protegidas, encontra-se a função ambiental da flora auxiliando na preservação dos recursos hídricos, na paisagem, na

estabilidade geológica e na promoção da biodiversidade das espécies de fauna e flora.

De modo análogo, nas áreas urbanizadas com presença de vegetação isolada, tais funções ambientais não estão presentes, dado a antropização local, com forte influência nos

processos ecológicos de regeneração vegetal e manutenção da biodiversidade local.

A vegetação identificada como isolada compreende os indivíduos arbóreos que se destacam na paisagem como árvores isoladas ou parcialmente isoladas, não localizadas nas bordas de fragmentos florestais. Esse tipo de vegetação normalmente não está associado à estratificação vegetal, nem há ocorrência de sub-bosque, serrapilheira, lianas e epifitismo, tratando-se de árvores remanescentes nos lotes urbanos devido a antropização ocorrida no

passado, ou de novos plantios com vistas ao ajardinamento dos imóveis.

Durante visita técnica, foi possível observar algumas espécies, conforme abaixo.



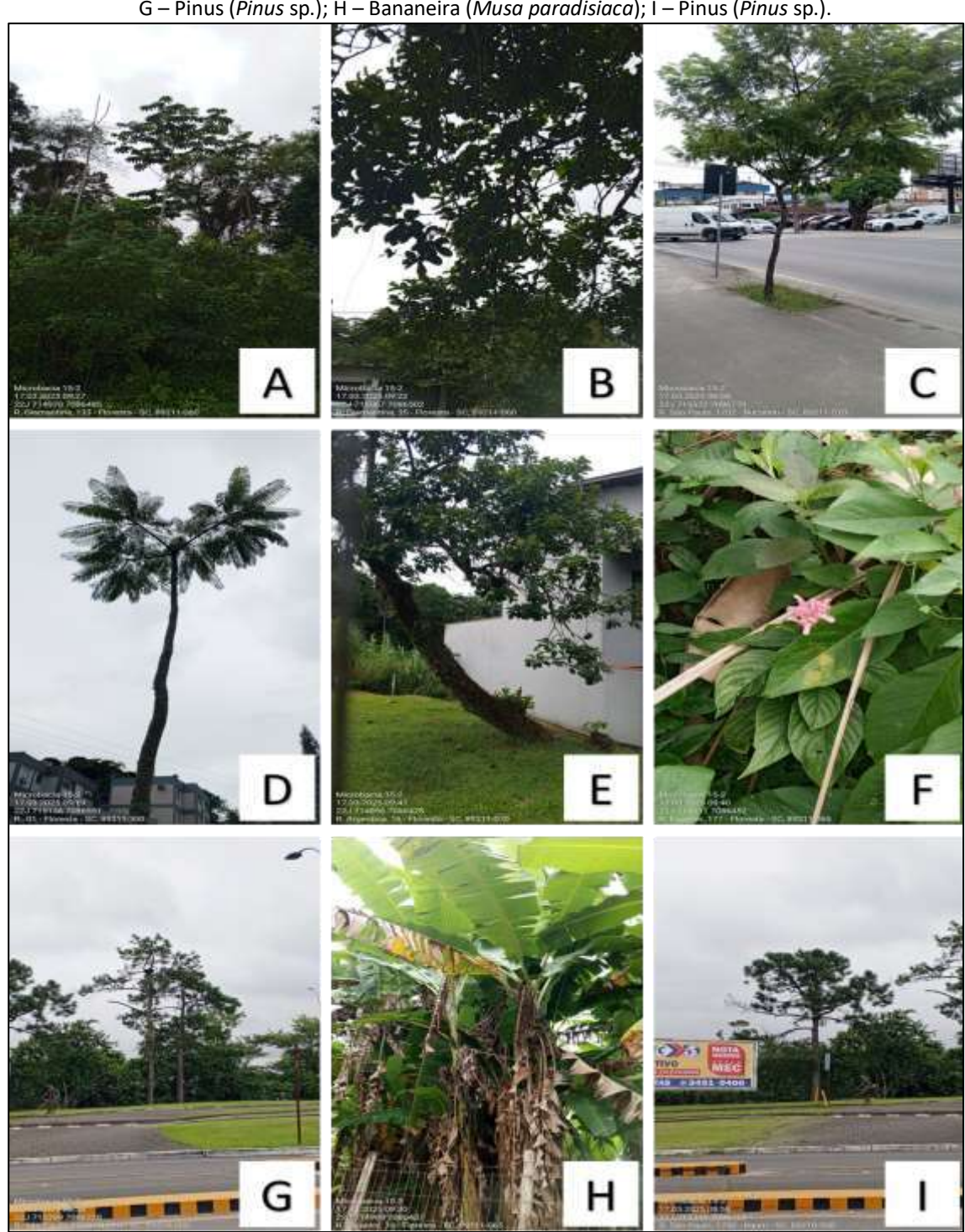








Figura 6: A – Embaúba (*Cecropia glaziovii*); B – Goiabeira (*Psidium guajava*); C – Jacarandá (*Machaerium* sp.); D – Guapuruvu (*Schizolobium parahyba*); E – Abacateiro (*Persea amaericana*); F – Jacobínia (*Justicia carnea*); G – Pinus (*Pinus* sp.); H – Bananeira (*Musa paradisiaca*); I – Pinus (*Pinus* sp.).















2.3.2 Identificação das áreas de restrições ambientais

A Microbacia hidrográfica 15-2 não é atingida por nenhuma Unidade de Conservação (UC), a maior parte da vegetação densa localiza-se na faixa de projeção das APP das nascentes.

2.3.3 Mapeamento das áreas de restrições ambientais

O mapa a seguir identifica que a microbacia não está inserida em nenhuma UC.

2.3.4 Quadro de quantitativo das áreas de vegetação

No quadro 05, são apresentados os dados sobre o percentual e o tipo de cobertura vegetal na microbacia em análise.

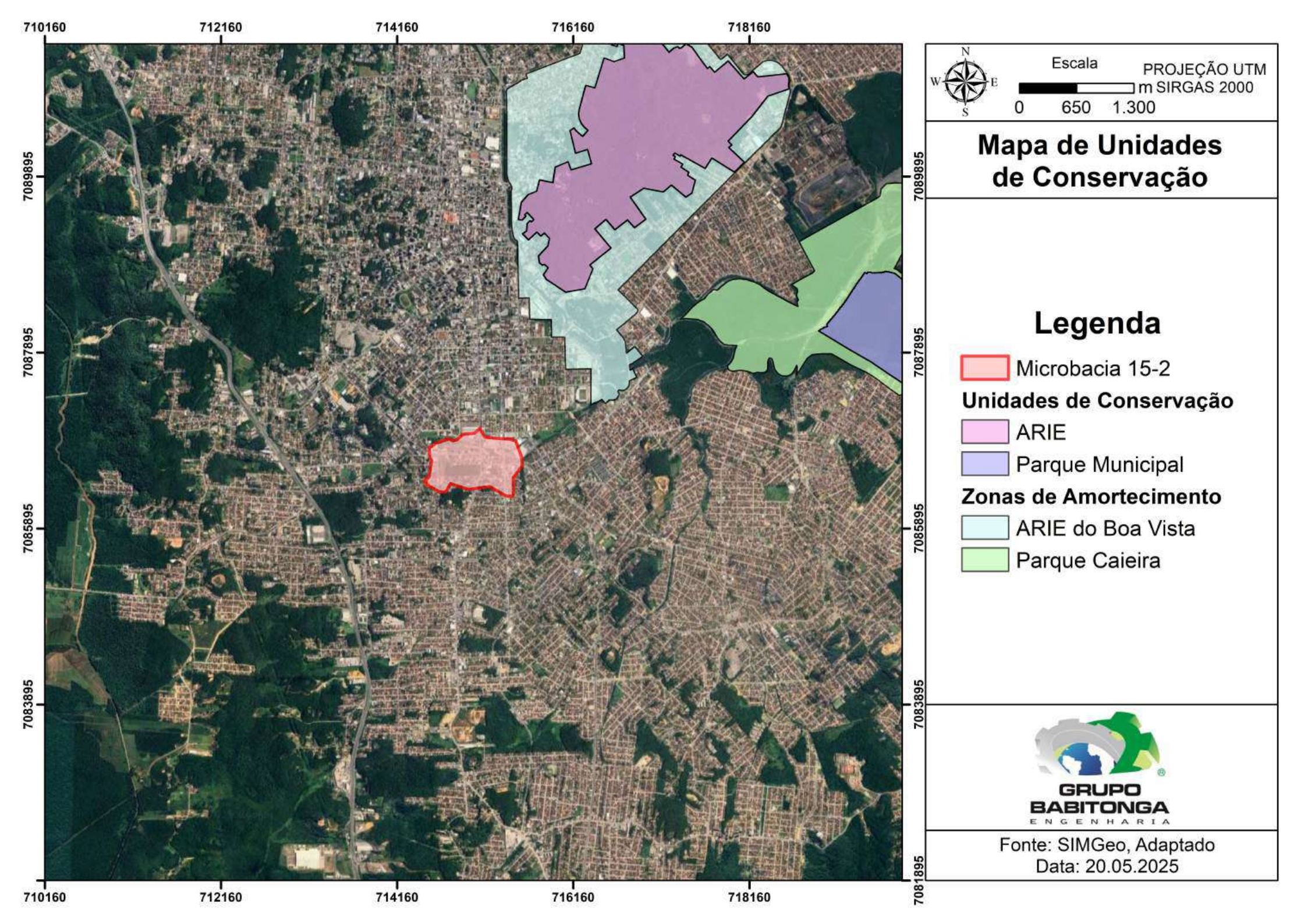
Os dados foram levantados via geoprocessamento dos quadrantes, considerando áreas com mata nativa do tipo vegetação densa, árvores isoladas e áreas sem cobertura vegetal, todas localizadas na faixa de projeção das APPs em áreas urbanas consolidadas.

Quadro 5: Vegetação da microbacia hidrográfica.

Vegetação					
Quadro das áreas	m²	Percentual em relação à área total da microbacia na projeção de APP			
Área vegetada (vegetação densa) dentro da faixa de projeção da APP na Área Urbana Consolidada	12.372,80	22,37%			
Área vegetada (árvores isoladas) dentro da faixa de projeção da APP na Área Urbana Consolidada	921,86	1,67%			
Área sem vegetação dentro da faixa de projeção da APP na Área Urbana Consolidada	42.943,60	77,63%			

^{*}Não foram consideradas as áreas de projeção da faixa de APP, visto que na área da microbacia não terá APP.

Mediante análise dos dados levantados, conclui-se que há baixa representatividade da vegetação densa e isolada na AUC no âmbito da microbacia em análise. Tais dados corroboram com a grande influência antrópica e elevada condição de urbanização local.















2.4.1 Caracterização da fauna existente nos trechos e nas áreas vegetadas

A fauna sempre está associada a formações florestais, pois elas proveem alimentação e abrigo, ou seja, a ausência de corredores ou fragmentos de vegetação conectados, tornam o ambiente pouco provável de possuir grande riqueza de espécies.

A mata atlântica representa uma das mais ricas regiões em número de espécies da fauna e da flora brasileira (MMA, 2000). Abrigam aproximadamente 70% da população brasileira, além das maiores cidades e os mais importantes polos industriais do Brasil (SOS MATA ATLÂNTICA, 2015). É mais rica em espécies por área que a floresta amazônica e apresenta altos índices de endemismo (MMA, 2000; GROSE, 2017).

O município de Joinville, como visto anteriormente, está inserido integralmente no domínio do bioma mata atlântica, compreendendo a floresta ombrófila densa em suas várias formações vegetacionais, assim como uma área de vegetação pioneira de influência fluviomarinha (manguezal), próximo ao estuário da Baía da Babitonga, e campos de altitude. Esse grande mosaico oferece hábitat para uma grande variedade de organismos, distribuídos em um gradiente de altitude de 0 a 1.325 metros acima do nível do mar (PMGC, 2007; GROSE, 2015).

Com base nos estudos realizados na cidade (JOINVILLE, 2012; COMITTI, 2017; DORNELLES *et al.* 2017; GROSE, 2017; COSTA, 2015; PINHEIRO *et al.* 2017), foi possível identificar a diversidade local dos grupos de Ictiofauna, Herpetofauna, Avifauna e Mastofauna.

Em Joinville, há possível ocorrência de 43 espécies de anfíbios e 46 répteis (JOINVILLE, 2012). No estudo de Comitti (2017), é descrito que a mata atlântica concentra a maior diversidade entre os anfíbios, com cerca de 540 espécies, sendo 90% destas endêmicas do ambiente, além de cerca de 200 espécies de répteis, com 40 espécies endêmicas. Foram levantados, próximo à região da microbacia, 16 espécies de anfíbios e 2 de répteis, sendo que na região total do estudo foram encontrados ao todo 36 espécies de anfíbios e 18 de répteis (COMITTI, 2017).











Em relação aos mamíferos, há possível ocorrência de 112 espécies no município (JOINVILLE, 2012). Na mata atlântica são encontradas 298 espécies, das quais 90 são endêmicas e cerca de 35 estão com algum grau de ameaça, já próximo à área da microbacia foram encontradas 12 espécies, e na área total do estudo foram registradas 32 espécies (DORNELLES *et al.* 2017).

Quanto as aves, a região nordeste do estado de Santa Catarina é considerada uma das três microrregiões com maior diversidade de espécies de aves do estado, onde foram identificadas 171 espécies nas proximidades da microbacia, e 241 espécies na área total do estudo (GROSE, 2017), em outros estudos é possível verificar a ocorrência de 296 espécies no município (JOINVILLE, 2012) ou até 344 espécies (COSTA, 2015).

Com relação a fauna aquática, foram encontradas 6 espécies em pontos próximos à microbacia, e ao todo 22 espécies na área total do estudo, sendo uma área com menor riqueza de espécies (PINHEIRO *et al.*, 2017), no município há possível ocorrência de 27 espécies de água doce (JOINVILLE, 2012).

A maioria dos pontos de amostragem dos estudos utilizados para o levantamento dos dados foram realizados em áreas próximas à microbacia, em ambientes de vegetação densa, e como visto, na área da microbacia ocorre muita fragmentação e ambientes degradados ao longo das margens dos rios deixando a fauna terrestre mais restrita ao local.

Durante visita técnica, foi possível observar algumas espécies de Avifauna e Mastofauna, conforme figuras abaixo.

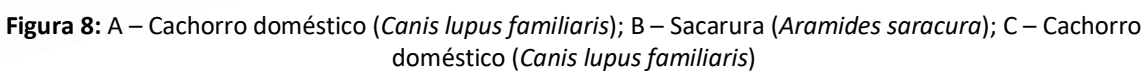














2.4.2 Tabela indicando as espécies e grau de ameaça em listas estaduais e federais

As tabelas são apresentadas em anexo a este estudo.

2.5 Presença de infraestrutura e equipamentos públicos

2.5.1 <u>Identificação e descrição da infraestrutura e principais equipamentos públicos</u> presentes na microbacia hidrográfica 15-2

Segundo o Diagnóstico Socioambiental que delimitou a AUC em 2016, é possível observar que a região é contemplada com abastecimento de água potável, rede de distribuição de energia elétrica, telefonia, sinalização viária, serviços de limpeza urbana e pela coleta e manejo de resíduos sólidos urbanos.











Figura 9: Rede de energia elétrica e de telefonia na área em estudo



Figura 11: Rede de energia elétrica e de telefonia na área em estudo.



Fonte: Grupo Babitonga, 2025.

Figura 10: Rede de energia elétrica, iluminação pública e ponto de ônibus na área em estudo.



Fonte: Grupo Babitonga, 2025.

Figura 12: Rede de energia elétrica e iluminação pública na área em estudo.



Fonte: Grupo Babitonga, 2025.

Devido a maior área da microbacia ser contemplada pela rede pública de coleta de esgoto sanitário, conforme último dado disponibilizado pela Companhia Águas de Joinville (Esgoto em Operação, dezembro de 2024), os corpos hídricos que estão integrados à drenagem, recebem contribuição mínima de esgoto sanitário, dos sistemas de tratamentos unifamiliares das residências.

A região de entorno da área deste estudo possui abastecimento de água e energia elétrica, com residências instaladas, instituição religiosa, empreendimentos comerciais e industriais ao seu entorno, conforme figuras apresentadas neste tópico do estudo.











Figura 13: Posto de combustível localizado no perímetro da microbacia 15-2.



Figura 15: Empreendimento localizado no



Fonte: Grupo Babitonga, 2025.

Figura 14: Empreendimento industrial localizado no perímetro da microbacia 15-2.



Fonte: Grupo Babitonga, 2025.

Figura 16: Empreendimento localizado no perímetro da microbacia 15-2.



Fonte: Grupo Babitonga, 2025.











Figura 17: Empreendimento localizado no perímetro da microbacia 15-2.



Fonte: Google Maps, 2025.

Figura 19: Residências localizadas no perímetro da



Fonte: Google Maps, 2025.

Figura 18: Empreendimento localizado no perímetro da microbacia 15-2.



Fonte: Google Maps, 2025.

Figura 20: Residências localizadas no perímetro da microbacia 15-2.



Fonte: Google Maps, 2025.

A região no qual abrange a microbacia também é contemplada por algumas linhas do transporte público urbano, como por exemplo as linhas de ônibus: 0022 - Sul/Campus -Ida para Campus Universitário e Volta para Terminal Sul; 0200 – Note/Sul – Ida e Volta para Terminal Norte e Ida para Terminal Sul; 0300 – Itaum/Centro – Ida para Terminal Central e Volta para Estação Itaum; 0302 – Itaum/Centro via Anitápolis – Ida para Terminal Central e Volta para Estação Itaum; 0307 – Itaum/Pirabeiraba – Ida para Estação Pirabeiraba e Volta para Estação Itaum; 0603 - Guanabara/Centro - Volta para Estação Guanabara; 0700 -Sul/Centro – Ida para Terminal Central e Volta para Terminal Sul; 0702 – Itinga/Norte – Ida para Terminal Norte; 0703 – Escolinha/Centro – Ida para Terminal Central; 1401 – Petrópolis Ida para Terminal Central; 1411 – Circular Noturno Itinga – Ida para Terminal Sul; 1720 –



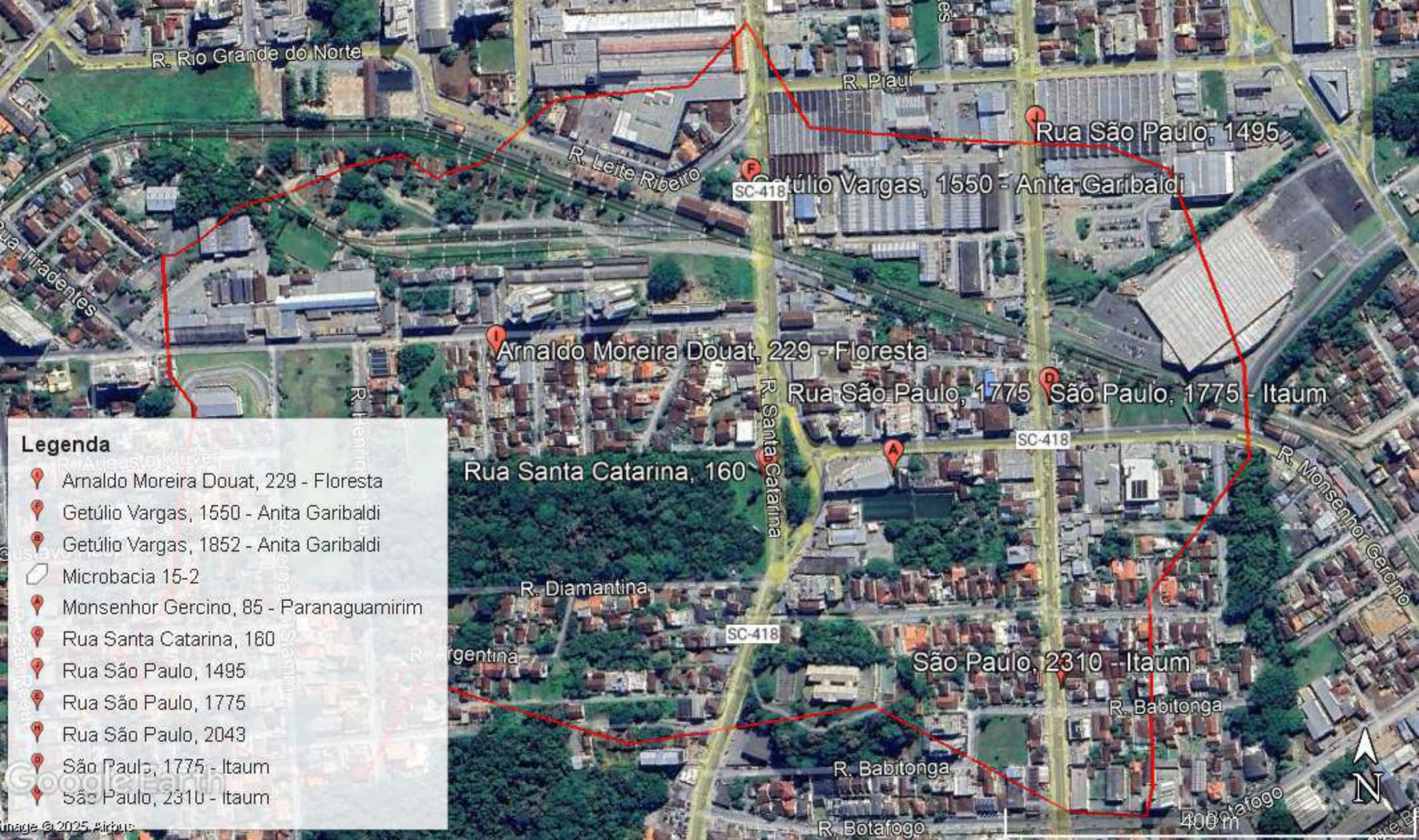








Colégio Celso Ramos/Sul – Volta para Terminal Sul; 6000 – Norte/Itaum – Ida para Terminal Norte e Volta para Estação Itaum; 6003 – Irirú/Sul – Volta para Estação Iririú, Volta para Estação Itaum e Ida para Terminal Sul; 7014 – Sul/Centro via Nilo Peçanha – Volta para Terminal Sul e Ida para Terminal Central.













No tocante à drenagem urbana, toda malha de corpos d'água, que está inserida na AUC e que está em área de ocupação densamente urbanizada, está integrada à drenagem urbana conforme base de dados do Município, independente se trecho em canal aberto ou fechado. Esta integração à drenagem urbana é uma característica usual dos rios no ambiente de ocupação densamente urbanizada, sendo que obras de infraestrutura em seu entorno contribuem para mudanças quanto a sua funcionalidade ambiental (VERÓL et al., 2019).

2.6 Parâmetros indicativos ambientais e urbanísticos, histórico ocupacional e perfil socioeconômico local

A Bacia Hidrográfica do Rio Cachoeira abrange uma área de 81,4 km², perímetro de 59,2 km, estando totalmente inserida na área urbana do município de Joinville, possui cerca de 49% da população do município. Drena uma área de 83,12 km². O Rio Cachoeira e seus mananciais destacam-se por ser aporte dos efluentes da área industrial e residencial (7,3% da área de Joinville) (Maia et al., 2013).

Devido ao fato de que sua foz se encontra numa região estuarina, durante períodos de amplitude da maré, segundo relato de moradores, observa-se a inversão do fluxo da água do rio até quase metade de seu percurso, nas proximidades com a travessia da rua General Polidoro. As cotas altimétricas reduzidas nas proximidades da foz, aliadas à influência das marés astronômicas e meteorológicas, bem como à intensidade das precipitações pluviométricas, configuram um cenário propício à recorrência de eventos de inundação na área central. Esses eventos hidrológicos impactam também em alguns afluentes, com destaque para os rios Itaum-açu, Bucarein, Jaguarão e Mathias (Maia et al., 2013).

A Bacia Hidrográfica do Rio Cachoeira possui duas unidades de conservação em seus limites: a ARIE do Morro do Boa Vista e o Parque Municipal Morro do Finder. A ARIE do Morro do Boa Vista ocupa cerca de 2,3 km² (2,85%) do território da Bacia Hidrográfica, enquanto o Parque Municipal Morro do Finder protege 0,25% (Ribeiro & Oliveira, 2014; Oliveira et al, 2017).



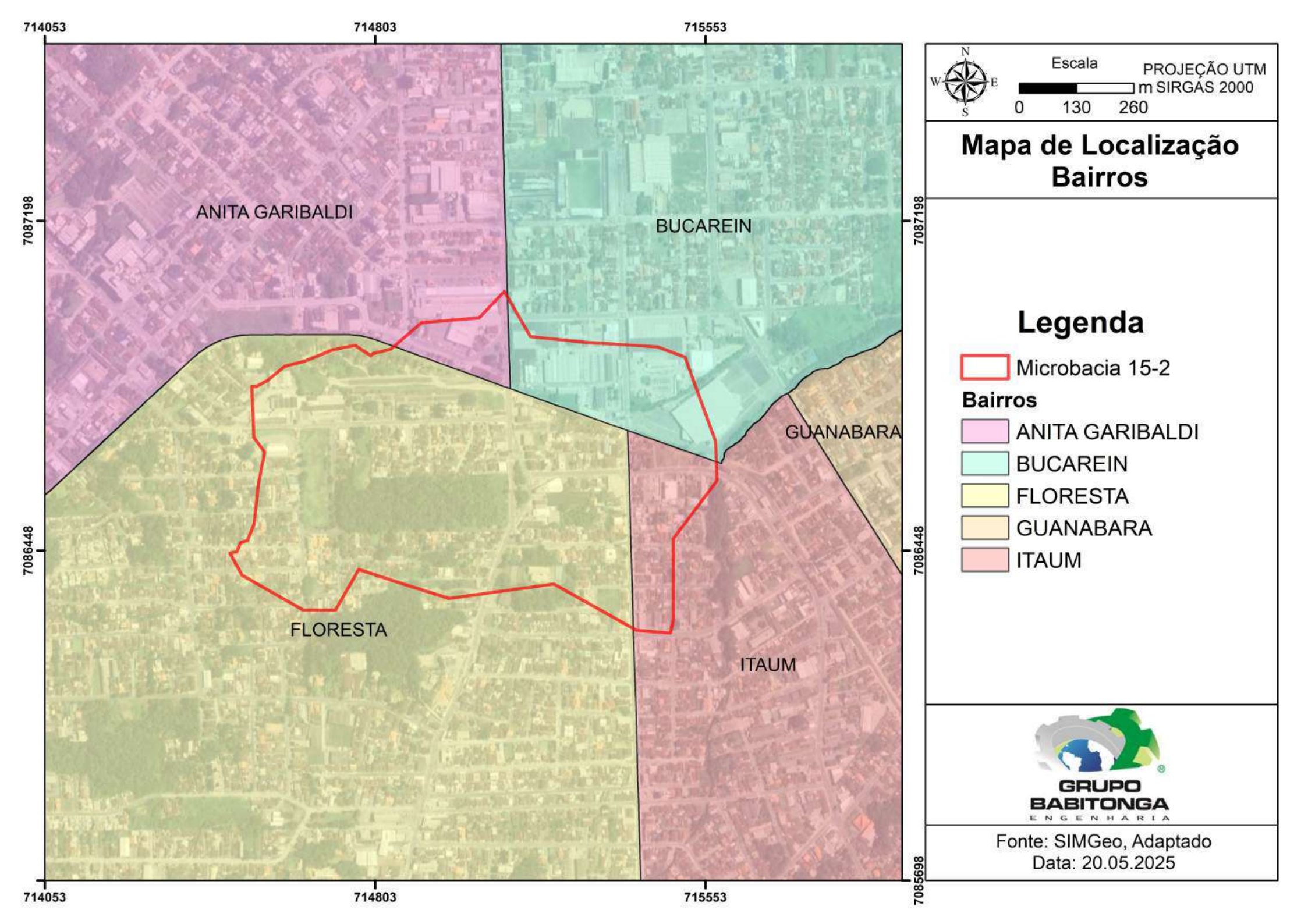








A microbacia 15-2 abrange os bairros, conforme mapa de localização com relação aos bairros apresentado a seguir. Conforme dados da SEPUD, Bairro a Bairro (2017), a região que hoje compreende o bairro Floresta, era conhecida por Estrada Santa Catarina, desempenhou um papel importante no desenvolvimento e expansão da Colônia Dona Francisca no processo de colonização. O modelo de produção foi alterado de agricultura de subsistência para comercial/industrial, com algumas empresas importantes: Fábrica de Massas Steuernagel (extinta em 1986), Usina Metalúrgica Nacional (extinta em 1958), Cerâmica Käsemodel, Douat – Companhia Metalmecânica e Metalúrgica Wetzel.











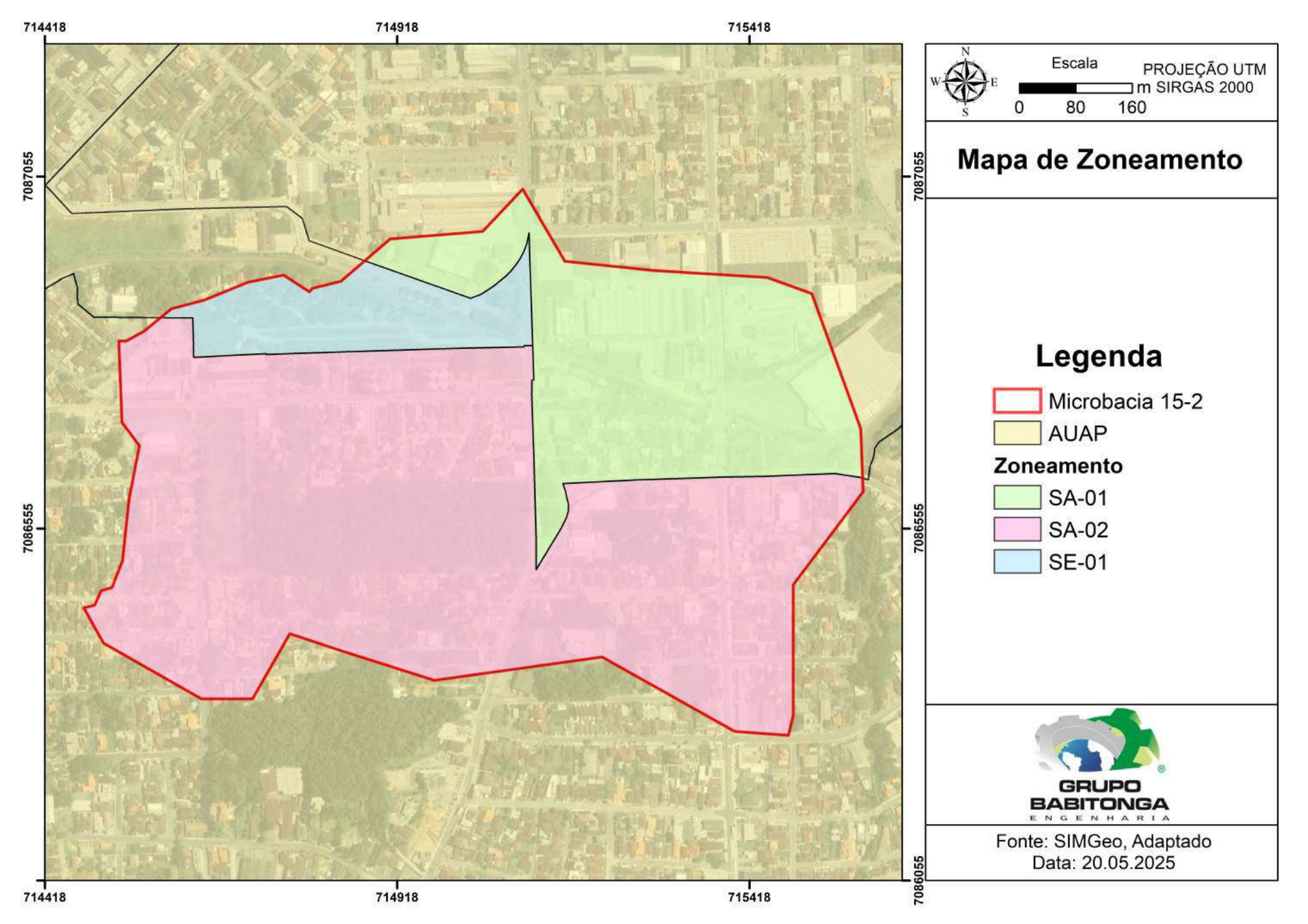


A existência do bairro Itaum remonta à época da Colônia Dona Francisca, pois na redondeza das terras do Príncipe de Joinville já existiam famílias instaladas em sesmarias, sítios ou fazendas. Esse bairro foi, durante muito tempo, conhecido como Bupeva, assim como o bairro Jarivatuba, talvez pela dúvida dos limites entre os bairros (SEPUD, 2017).

O bairro Anita Garibaldi adotou o nome de sua principal rua, anteriormente denominada de "Kaiserstrasse", devido a sua importância ao acesso ao centro da cidade. Foi no final da década de 1920 que o bairro recebeu instalação de energia elétrica, e apenas na década de 1950 que chegou água tratada na região. Anita Garibaldi teve destaque entre os demais bairros do município, pois, além de desenvolver a economia de subsistência, contribui para o desenvolvimento industrial com a instalação de diversas empresas, com destaque para a Fábrica de Pentes do Sr. João Hensen Jr., a primeira instalada no bairro e que posteriormente estabeleceu a TIGRE S.A. (SEPUD, 2017).

Já com relação ao bairro Bucarein, possui grande importância para a história de construção de Joinville, pois, antes da inauguração da via férrea, o porto do Rio Bucarein era o único meio de embarque e desembarque de mercadorias, como exemplo a erva-mate e a madeira (SEPUD, 2017).

Em relação ao zoneamento urbano da área que compreende a microbacia 15-2 objeto deste estudo, a região é abrangida totalmente pela parte urbana, conforme figura a seguir (SEPUD, 2017).













ORIGINAL DELP

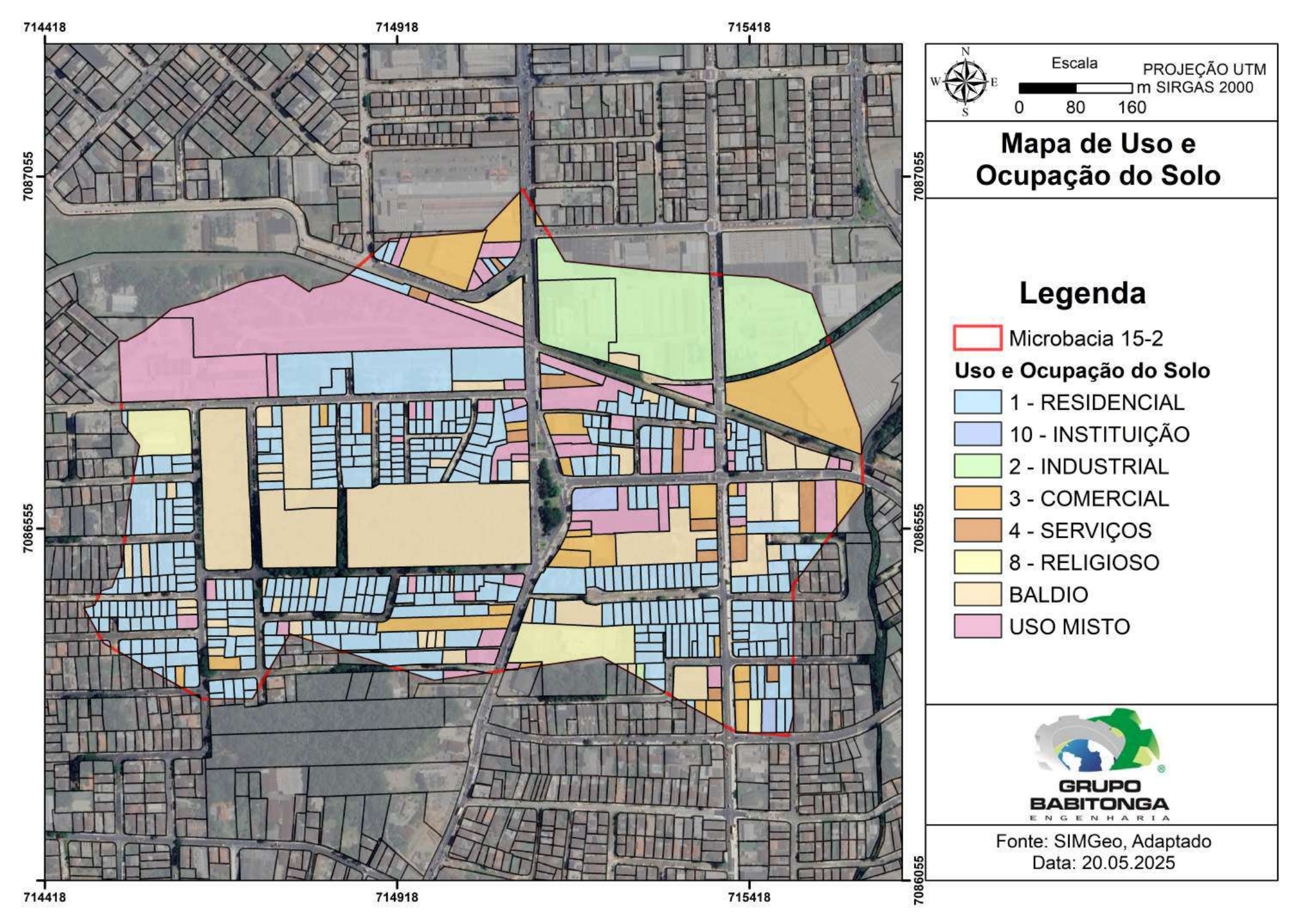
Segundo a SEPUD (2017), estima-se, que o bairro Nova Brasília possui cerca de 2.964 hab./km² e rendimento médio mensal de 4,24 salários mínimos. Além disso, em relação à economia, 40,2% dos habitantes do bairro possuem renda média entre 1 e 3 salários mínimos. Ainda, quanto ao uso do solo, cerca de 83,3 % é utilizado para assentamento populacional (residência), 11,3% para comércio/serviços, 5,1% trata-se de terrenos baldios e 0,3% para indústria (SEPUD, 2017).

Já no bairro Bucarein a densidade demográfica é de 2.940/hab./km² e rendimento média de 3,90 salários mínimos mensais. Em relação a economia, 49,6% dos habitantes recebem entre 1 e 3 salários mínimos. Cerca de 80,5% do uso do solo é utilizado para assentamento populacional, 14,8% para comércio/serviços, 4,21% é terreno baldio e 0,6% é destinado para a indústria (SEPUD, 2017).

O bairro Floresta possui 3.981 hab./km² e rendimento médio mensal de 2,42 salários mínimos, tendo 56,1% dos habitantes recebendo entre 1 e 3 salários mínimos. Do ponto de vista de uso do solo, 83,1% é utilizado para assentamento populacional, 9,2% para comércio/serviços, 7,2% são terrenos baldios e 0,6% para o setor industrial (SEPUD, 2017).

Com relação ao bairro Itaum, este possui cerca de 4.968 hab./km², tendo como rendimento médio mensal 1,77 salário mínimos, tendo 54,5% dos habitantes recebendo entre 1 e 3 salários mínimos. Quanto ao uso do solo, 83,8% é utilizado para assentamento populacional, 8,8% para comércio/serviços, 7,1% são terrenos baldios e 0,3% para o setor industrial (SEPUD, 2017).

De forma geral, pode-se dizer que parte do uso do solo da região que compreende a microbacia é constituída majoritariamente de áreas residenciais e terrenos baldios, conforme figura a seguir. Ainda, é possível observar áreas de uso misto, comercial, serviços, industrial, instituição e religioso.











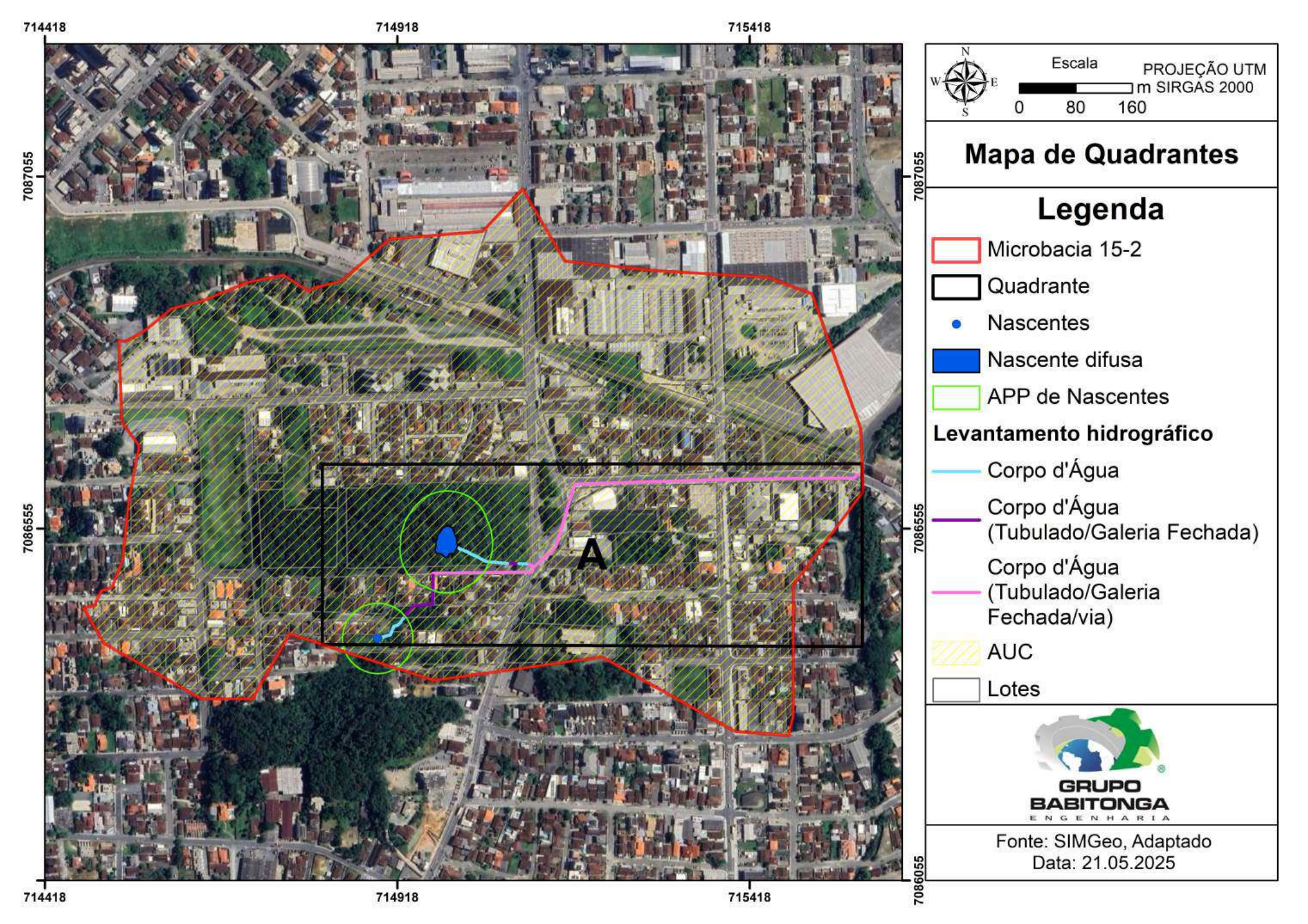




3.0 ESTUDO DOS QUADRANTES

O mapa abaixo representa a microbacia com a indicação dos lotes, da hidrografia, da AUC e a divisão da microbacia em quadrantes representativos ao longo dos corpos d'água. Para a microbacia 15-2 foi definido 01 quadrante representativo e nomeado de A.

A seguir são apresentados os detalhamentos dos quadrantes, com a numeração dos trechos e enquadramento nos macros cenários, assim como a extensão dos corpos hídricos em cada situação.



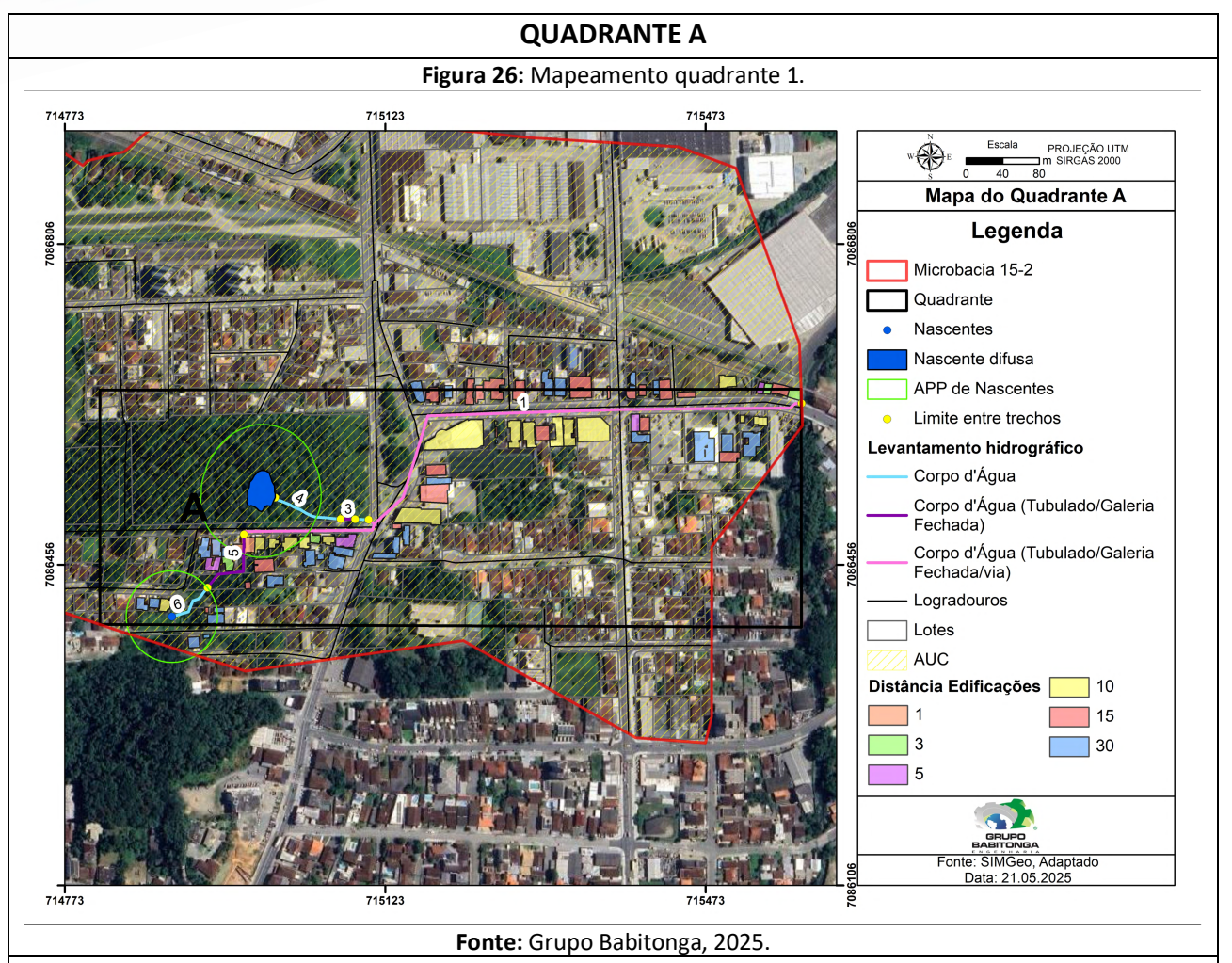












DADOS (Medida dos trechos)

Trecho averto em vegetação densa em meio antropizado: 76,71 m

Trecho aberto em vegetação isolada/desprovido de vegetação em meio antropizado: 14,76 m

Trechos tubulados: 868,70 m

1, 3, 5 e 6











Figura 27: Trecho 01, tubulado.



Fonte: Grupo Babitonga, 2025.



Fonte: Grupo Babitonga, 2025.

Figura 31: Trecho 04, aberto.



Fonte: Grupo Babitonga, 2025.

Figura 28: Trecho 01, tubulado.



Fonte: Grupo Babitonga, 2025.

Figura 30: Trecho 03, tubulado.



Fonte: Grupo Babitonga, 2025.

Figura 32: Trecho 04, aberto.



Fonte: Grupo Babitonga, 2025.











Figura 33: Trecho 05, tubulado.



Fonte: Grupo Babitonga, 2025.

Figura 34: Trecho 05, tubulado.



Fonte: Grupo Babitonga, 2025.

Figura 35: Trecho 6, tubulado.



Fonte: Grupo Babitonga, 2025.

Observação: O trecho 02 foi incluso no cenário de vegetação isolada/desprovido de vegetação em meio antropizado em virtude de estarem entre próximos a área urbanizada.

Os trechos 04 e 06, apesar de terem edificações próximas no raio de 30 metros, estão inseridas em APP de nascente, desta forma haverá prevalência da aplicação de APP de nascente como restrição ambiental nesses trechos.











4.0 ANÁLISE E DISCUSSÃO

4.1 Composição da matriz de impactos conforme simulações de cenários e aplicação de critérios conforme metodologia de Perini *et al.* 2021

Quadro 6: Matriz de impactos.

	N	IATRIZ DE IMPA	CTOS	CRITÉRIOS						
TRECHOS		IÁRIOS	IMPACTOS	VALOR RELEVÂNCIA REVERSIBILIDADE		PONT	PONTUAÇÃO		ONTUAÇÃO	
			Permeabilidade do solo	Negativo	Baixa	Baixa	1+3	4		
		Densamente	Cobertura vegetal mata ciliar	Negativo	Baixa	Baixa	1+3	4	Cenári	o Real
		urbanizado	Influência sobre mancha de inundação	_	Média	Baixa	2+3	5	Total Negativos	Total Positivo
		com	Influência sobre a fauna	Negativo	Baixa	Baixa	1+3	4	22	30
	Trecho aberto com	flexibilização de ocupação -	Estabilidade das margens / riscos de deslizamentos / erosões	Negativo	Média	Baixa	2+3	5		
	vegetação	real	Urbanização (Critério 5x)	Positivo	Alta	Baixa	5x(3+3)	30	1	
4	densa em		Permeabilidade do solo	Positivo	Baixa	Alta	1+1	2		
	meio	Predominância	Cobertura vegetal mata ciliar	Positivo	Baixa	Alta	1+1	2	Cenário H	lipotético
	antropizado	de	Influência sobre mancha de inundação	Positivo	Média	Média	2+2	4	Total Negativos	Total Positivo
		características	Influência sobre a fauna	Positivo	Baixa	Alta	1+1	2	13	20
		naturais - hipotetico	Estabilidade das margens / riscos de deslizamentos / erosões	Positivo	Média	Alta	2+1	3	15	
		· ·	Urbanização (Critério 5x)	Negativo	Alta	Alta	5x(3+1)	20	1	
			Permeabilidade do solo	Negativo	Baixa	Baixa	1+3	4		
		Densamente	Cobertura vegetal mata ciliar	Negativo	Baixa	Baixa	1+3	4	Cenári	o Real
		urbanizado	Influência sobre mancha de inundação		Média	Baixa	2+3	5	Total Negativos	Total Positivo
		com	Influência sobre a fauna	Negativo	Baixa	Baixa	1+3	4	22	30
	aberto com de	flexibilização de ocupação -	Estabilidade das margens / riscos de deslizamentos / erosões	Negativo	Média	Baixa	2+3	5		
	vegetação	real	Urbanização (Critério 5x)	Positivo	Alta	Baixa	5x(3+3)	30	1	
2	isolada ou		Permeabilidade do solo	Positivo	Baixa	Alta	1+1	2		
	inexistente	Predominância		Positivo	Baixa	Alta	1+1	2	Cenário I	lipotético
	em meio	de	Influência sobre mancha de inundação		Média	Média	2+2	4	Total Negativos	Total Positivo
	antropizado	características	Influência sobre a fauna	Positivo	Baixa	Alta	1+1	2	20	13
		naturais - hipotetico	Estabilidade das margens / riscos de deslizamentos / erosões	Positivo	Média	Alta	2+1	3		
		· ·	Urbanização (Critério 5x)	Negativo	Alta	Alta	5x(3+1)	20	1	
			Permeabilidade do solo	Negativo	Baixa	Baixa	1+3	4		
		Densamente	Cobertura vegetal mata ciliar	Negativo	Baixa	Baixa	1+3	4	Cenári	o Real
		urbanizado	Influência sobre mancha de inundação	Negativo	Média	Baixa	2+3	5	Total Negativos	Total Positivo
		com	Influência sobre a fauna	Negativo	Baixa	Baixa	1+3	4	21	30
	Trecho	flexibilização de ocupação -	Estabilidade das margens / riscos de deslizamentos / erosões	Negativo	Baixa	Baixa	1+3	4		
	tubulado	real	Urbanização (Critério 5x)	Positivo	Alta	Baixa	5x(3+3)	30	1	
1, 3, 5, 6	entre lotes		Permeabilidade do solo	Positivo	Baixa	Alta	1+1	2		
	ou sob via	Predominância	Cobertura vegetal mata ciliar	Positivo	Baixa	Alta	1+1	2	Cenário I	lipotético
		de	Influência sobre mancha de inundação		Média	Média	2+2	4	Total Negativos	Total Positivo
		características	Influência sobre a fauna	Positivo	Baixa	Alta	1+1	2	20	12
		naturais - hipotético	Estabilidade das margens / riscos de deslizamentos / erosões	Positivo	Média	Alta	1+1	2		
			Urbanização (Critério 5x)	Negativo	Alta	Alta	5x(3+1)	20	+	

Fonte: Perini et al. (2021), adaptado.

4.2 Análise e discussão dos resultados da matriz de impactos

4.2.1 <u>Trecho aberto com vegetação densa e trecho aberto com vegetação isolada ou inexistente em meio antropizado</u>

Para este cenário, as margens se encontram parcialmente ocupadas, ou degradadas, não contendo áreas de preservação permanente com vegetação natural na delimitação total de 30 m, sendo que ocorreram interferências antrópicas que afetaram diretamente as funções ambientais, e devido à proximidade com terrenos adjacentes ocupados e urbanizados a recuperação do local se tornaria irrelevante.











CHE DOTATION EMETER

O cenário de corpo d'água aberto com vegetação isolada elencado pela metodologia, observa-se o somatório de pontos positivos maior no cenário real, indicando a permanência do cenário em relação ao hipotético, ou seja, recomendando a manutenção da flexibilização da ocupação ao invés da recuperação das faixas marginais.

4.2.2 Trecho tubulado

Para esse cenário, observa-se o somatório de pontos positivos maior no cenário real, indicando a permanência do cenário em relação ao hipotético, ou seja, recomendando a manutenção da flexibilização da ocupação ao invés da recuperação das faixas marginais.

4.3 Análise e discussão dos resultados da matriz de impactos quanto à:

4.3.1 Atestado da perda das funções ecológicas inerentes às Áreas de Preservação Permanentes (APPs)

As diversas funções ambientais, descritas principalmente nas legislações de proteção das APP's somam-se a serviços ambientais e contribuem significativamente para a preservação dos recursos hídricos, da paisagem, da estabilidade geológica e a manutenção da biodiversidade, facilitando o fluxo gênico de fauna e flora e protegendo o solo, bem como para assegurar o bem-estar das populações humanas (Lei n° 12.651/2012).

Foram identificados os trechos de corpos d'água tubulados entre lotes e sob vias públicas, como observado nos trechos 1, 3, 5 e 6.

Outro cenário identificado é o de trechos abertos com vegetação isolada ou desprovido de vegetação em meio antropizado, trechos 2 e 4, assim como o trecho aberto com vegetação densa em meio antropizado, trecho 6. Estes cenários que são densamente urbanizados com vegetação isolada, tanto aberto quanto fechado, o solo já se encontra impermeável com a construção das edificações e pavimentação de vias sobre o corpo hídrico, sendo que a fauna e flora já estão comprometidas, pois para a ocupação humana da região, ocorreu a retirada da cobertura vegetal, parâmetro para ocorrência de espécies e











relações ecológicas, uma vez que a área ideal se baseia nas exigências ambientais ótimas (PERINI et al., 2021).

Visto isso, é possível afirmar que nos trechos do macro cenário de corpos d'água tubulados e abertos com vegetação isolada da microbacia em estudo, já ocorreu a perda da função ambiental e ecológica dentro da Área Urbana Consolidada (PERINI *et al.*, 2021).

4.3.2 <u>Demonstração da irreversibilidade da situação, por ser inviável, na prática, a recuperação da área de preservação</u>

A expansão urbana e os assentamentos humanos, historicamente apresentam padrão de ocupação preferencial no entorno e ao longo dos corpos hídricos, diante da conveniência de disponibilidade hídrica (PERINI *et al.*, 2021).

Os cursos hídricos tubulados ocupam 84,86% de toda extensão da bacia, aonde 74,19% da extensão total desta encontra-se sob vias públicas e fazem parte da infraestrutura urbana. Ainda, conforme identificado, as áreas são contempladas com rede de distribuição de água e energia elétrica, sistemas de drenagem de águas pluviais, integrada aos serviços de limpeza urbana.

Com isso o cenário de ocupação e intervenção detectado na microbacia 15-2, dentro da projeção da faixa de APP, a regeneração da vegetação nas faixas de APP é considerada irrelevante e inviável para as situações nos cenários de trechos abertos ou fechados com vegetação isolada ou inexistente e com vegetação densa em meio antropizado.

Sob o ponto de vista ambiental e social e urbanístico, conjunto de fatores levam a condição local da microbacia 15-2 como irreversível para estes cenários, tornando a renaturalização inviável, levando em consideração todos os aspectos envolvidos, de custo de obras, processos demolitórios, aquisição de novas moradias e estudos de planejamentos para a recuperação.













4.3.3 Constatação da irrelevância dos efeitos positivos que poderiam ser gerados com a observância da área de proteção, em relação a novas obras

Assim como no estudo desenvolvido por PERINI et al., (2021), os trechos com a faixa de projeção da APP com ocupação urbana, não pode ser recuperado, devido a ocupação e urbanização do local. Além disso do ponto de vista social esta microbacia abriga a residência de muitas famílias que seriam prejudicadas com a renaturalização dos trechos, sendo que a realocação da população que está inserida na faixa de APP, implicaria em perdas significativas para a região. Já analisando do ponto de vista urbanístico seria inviável também retirar todas as moradias, construções que fazem parte da infraestrutura pública, gerando muitos gastos e impactos que imediatos negativos com as demolições.

De acordo com Perini et al., (2021) a regularização dos imóveis dentro da projeção da FNE seria de grande importância para os moradores, como a possibilidade de reformas legalizadas, mais segurança jurídica, maior valorização patrimonial, além da possibilidade de expansão para novas moradias. Com isso, ocorre de forma mais responsável e democrática a consagração do direito à moradia e, assim, materializar a efetividade do direito à cidade sustentável.













5.0 CONSIDERAÇÕES FINAIS

5.1 Conclusão quanto ao atendimento do Art.6º da Lei Complementar nº 601/2022

Aplicando a metodologia descrita por Perini et al., (2021), através da matriz de impactos para a microbacia 15-2, verifica-se que a pontuação nos casos de corpos d'água tubulados e abertos com vegetação isolada ou inexistente em meio antropizado para o cenário real (flexibilização da ocupação) foi maior que o cenário hipotético (recuperação do ambiente).

Levando em consideração os dados levantados e as vistorias em campo, é possível atestar o atendimento ao Art.6° da LC nº 601/22 para os trechos tubulados e abertos com vegetação isolada ou inexistente em meio antropizado, pela perda das funções ecológicas, inviabilidade, na prática, da recuperação da APP, tornando irreversível a situação e irrelevância dos efeitos positivos de observar a proteção em relação a novas obras.

5.1.1 Tabela de atributos

A seguir apresenta-se a tabela de atributos com as informações do diagnóstico da área estudada, contendo a caracterização, numeração e restrição ambiental dos trechos avaliados.











Quadro 7: Tabela de atributos.

Num_trecho	Nova_class	Quadrante	Observaç	Restr	Func	Resp_tecn
1	Corpo d'Água (Tubulado/Galeria Fechada/Via)	А		FNE	Não	Eder Corbari (CREA/SC: 091317-7 ART n° 9625756-0)
2	Corpo d'Água	А		FNE	Não	Eder Corbari (CREA/SC: 091317-7 ART n° 9625756-0)
3	Corpo d'Água (Tubulado/Galeria Fechada)	Α		FNE	Não	Eder Corbari (CREA/SC: 091317-7 ART n° 9625756-0)
4	Corpo d'Água	Α	Parcialmente em APP de nascente não preservada	FNE	Não	Eder Corbari (CREA/SC: 091317-7 ART n° 9625756-0)
5	Corpo d'Água (Tubulado/Galeria Fechada)	Α		FNE	Não	Eder Corbari (CREA/SC: 091317-7 ART n° 9625756-0)
6	Corpo d'Água (Tubulado/Galeria Fechada)	А	Em APP de nascente não preservada	FNE	Não	Eder Corbari (CREA/SC: 091317-7 ART n° 9625756-0)

Fonte: Grupo Babitonga, 2025.









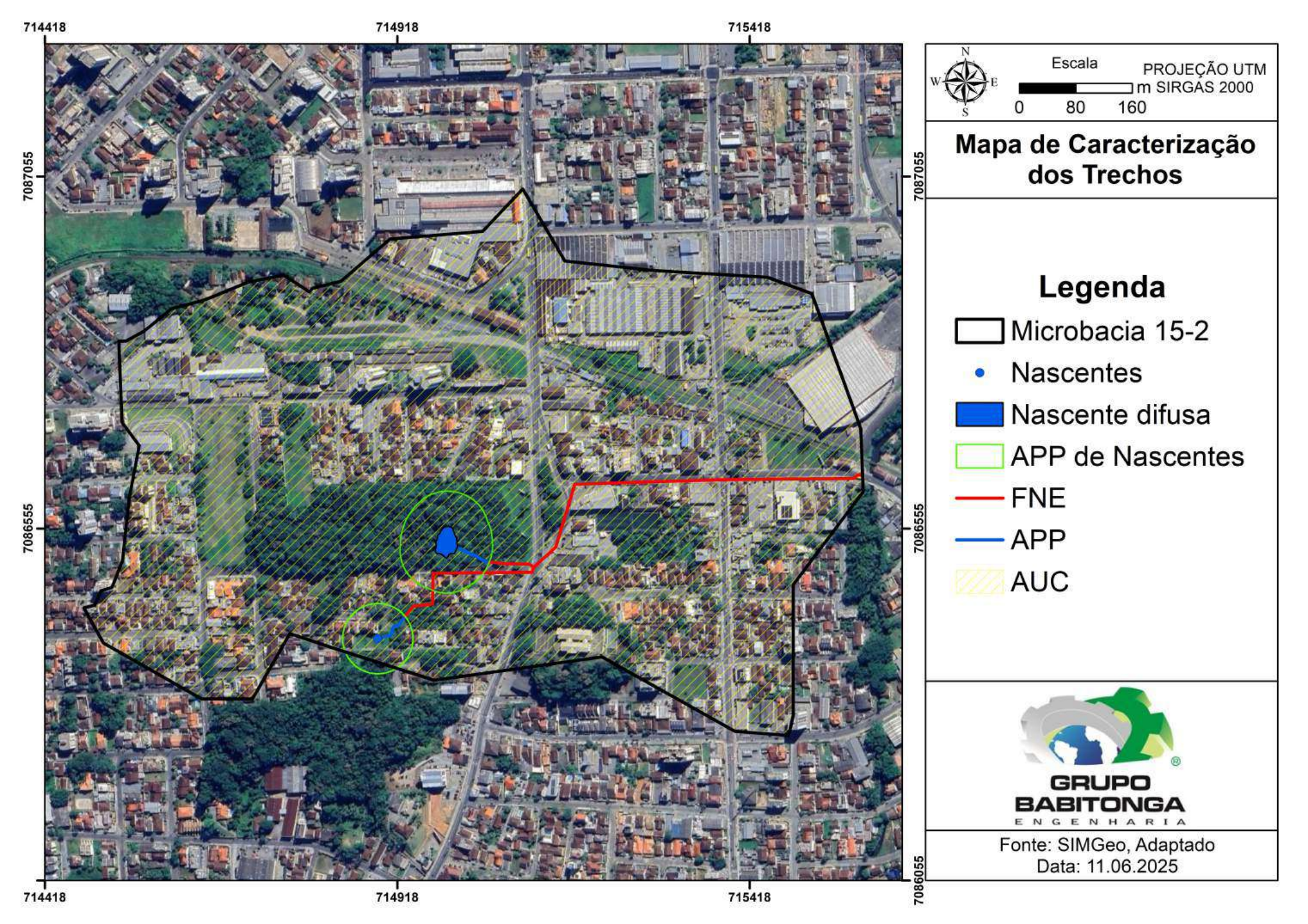


5.1.2 <u>Mapa com a caracterização dos trechos de corpos d'água na microbacia em</u> <u>estudo</u>

Abaixo é apresentado o mapa com as legendas conforme tabela de atributos, representando os trechos nos quais serão adotadas faixas marginais distintas – FNE's.

5.2 Observações e Recomendações

Durante a elaboração do estudo, não foi verificado divergências entre os trechos na Base Hidrográfica (*SIMGeo*) e o cenário atual que foram abordados nos tópicos relacionados aos estudos do quadrante.













6.0 RESPONSABILIDADE TÉCNICA

Eder Corbari

CPF: 021.777.569-10

Qualificação profissional: Engenheiro

Ambiental CREA/SC: 091317-7

Jéssica Sigueira de Oliveira

CPF: 020.731.172-28

Qualificação profissional: Arquiteto(a)

e Urbanista CAU/BR: 2344017

<u>Najaye Olilio N. do Sh</u> Marjorye Otilia Nunes Da Silva

CPF: 009.142.369-46
Qualificação profissional: Bióloga

CRBio: 081150/03-D













7.0 REFERÊNCIAS BIBLIOGRÁFICAS

BROWN JUNIOR, K. S. O papel dos consumidores na conservação e no manejo de recursos genéticos florestais in situ. IPEF, (35): 61-70. 1987.

COMITTI, E. J. Herpetofauna da bacia do rio Cachoeira, município de Joinville, Santa Catarina, Sul do Brasil. Acta Biológica Catarinense, 2017, 4(3), 90-105.

COMPANHIA ÁGUAS DE JOINVILLE. Esgoto em operação: Abril/2022. Disponível em: https://www.aguasdejoinville.com.br/wp-content/uploads/2019/08/Esgoto-em-

Operacao-Abril-2022 compressed.pdf>

COSTA, L. S. Contribuição ao Conhecimento da Ornitofauna do Município de Joinville, Santa Catarina, Brasil. Saúde Meio Ambiente v. 4, n. 2, p. 16-31, jul./dez. 2015.

DORNELLES, S. S. et al. Diversidade de mamíferos em fragmentos florestais urbanos na Bacia Hidrográfica do Rio Cachoeira, Joinville, SC. Acta Biológica Catarinense, 2017, 4.3: 126-135.

FATMA – Fundação do Meio Ambiente de Santa Catarina. Atlas Ambiental da Região de Joinville: Complexo Hídrico da Baía da Babitonga. Coordenação Joaquim L. Knie. Florianópolis: FATMA/GTZ, 2002.

Fundação Instituto de Pesquisa e Planejamento para o Desenvolvimento Sustentável de Joinville (IPPUJ). Joinville Cidade em Dados 2016. Prefeitura Municipal de Joinville, 2016. 158 p.

FUNDAÇÃO SOS MATA ATLÂNTICA. Atlas da evolução dos remanescentes florestais da Mata Atlântica e ecossistemas associados no período de 1990-1995. Instituto Nacional de Pesquisas Espaciais (INPE), São Paulo, 1998.

GROSE, A. V. Avifauna na Bacia Hidrográfica do Rio Cachoeira, Joinville, Santa Catarina. Acta Biológica Catarinense, 2017, 4.3: 106-125.

JOINVILLE. Área Urbana Consolidada de Joinville (AUC). 2016. Volume I: Metodologia de Identificação Delimitação. Fundação IPPUJ. Disponível em: https://www.joinville.sc.gov.br/wp-content/uploads/2016/07/%C3%81rea-urbana-











consolidada-de-Joinville-Volume-I-Metodologia-de-identifica%C3%A7%C3%A3o-e-delimita%C3%A7%C3%A3o.pdf>

JOINVILLE. **Plano Diretor de Drenagem Urbana – PDDU – da Bacia Hidrográfica do Rio Cachoeira no Município de Joinville/SC**. 2011. Formulação de cenários, diagnóstico e prognóstico. Prefeitura Municipal De Joinville. Secretaria De Administração.

JOINVILLE. **Plano Municipal de Conservação e Recuperação da Mata Atlântica (PMMA).** Secretaria de Meio Ambiente de Joinville – SAMA. Prefeitura Municipal de Joinville, 4º versão, 2020.

JOINVILLE. Secretaria de Planejamento, Orçamento e Gestão. **Plano de manejo da área de proteção ambiental Serra Dona Francisca**. Joinville; 2012. 76 p.

JOINVILLE. Secretaria de Planejamento Urbano e Desenvolvimento Sustentável (SEPUD). 2017. **Cidade em Dados**. Joinville: Prefeitura Municipal, 2017 73 p. Disponível em: https://www.joinville.sc.gov.br/wp-content/uploads/2016/01/Joinville-Cidade-em-Dados-2017.pdf.

JOINVILLE. Secretaria de Planejamento Urbano e Desenvolvimento Sustentável (SEPUD). 2017. **Bairro a Bairro**. Joinville: Prefeitura Municipal, 2017 188p. Disponível em: < https://www.joinville.sc.gov.br/wp-content/uploads/2017/01/Joinville-Bairro-a-Bairro-2017.pdf>.

KLEIN, R.M. **Mapa fitogeográfico do estado de Santa Catarina**. In: Reitz, R. (ed.). Flora Ilustrada Catarinense. Herbário Barbosa Rodrigues, Itajaí. 24 p. 1978.

MAIA, B. G. O; KLOSTERMANN, D.; RIBEIRO, J. M. G.; SIMM, M.; OLIVEIRA, T. M. N.; BARROS, V. G. **Bacias Hidrográficas da Região de Joinville.** Comitê Cubatão Cachoeira Joinville (CCJ) & Universidade da Região de Joinville (UNIVILLE). 2013. 60 p.

MMA – Ministério do Meio Ambiente. **Avaliação e ações prioritárias para a conservação da biodiversidade da mata atlântica e Campos Sulinos**. Brasília. 40 p. 2000.

OLIVEIRA, T. M. N.; RIBEIRO, J. M. G.; BARROS, V. G.; SIMM, M.; MELLO, Y. R.; ZEH, K. K. **Bacias Hidrográficas da Região de Joinville: Gestão e Dados**. Universidade da Região de Joinville –











Univille; Comitê de Gerenciamento das Bacias Hidrográficas dos Rios Cubatão e Cachoeira. Joinville, 2017.

PINHEIRO, P. C.; DALCIN, R. H.; BATISTA, T. T. A. Ictiofauna de áreas com interesse para a proteção ambiental de Joinville, Santa Catarina, Brasil. Acta Biológica Catarinense, 2017, 4.3:73-89.

PMGC – Plano Municipal de Gerenciamento Costeiro do município de Joinville. 2007.

PMJ. Diagnóstico Socioambiental Por Microbacia Hidrográfica (DSMH) Microbacia 13-3. Prefeitura de Joinville, SC. Agricultura e Meio Ambiente. 2022.

PMJ. **Joinville Cidade em Dados 2018. Aspectos Naturais.** Prefeitura Municipal de Joinville, SC. 297 p. 2018.

RIBEIRO, J. M. G; OLIVEIRA, T. M. N. de. CARTILHA GEOGRÁFICA: Bacias hidrográficas dos rios Cubatão (norte) e cachoeira. Joinville. Mercado de Comunicação. 2014. 1ª edição. 40p SEINFRA, Secretaria de Infraestrutura Urbana. Plano de Drenagem e Manejo de Águas Pluviais do Município de Joinville/SC. Joinville: Prefeitura Municipal. 225 p. 2013.

SILVEIRA, W. N.; KOBIYAMA, M.; GOERL, R. F.; BRANDENBURG, B. **História das Inundações em Joinville: 1851 – 2008.** Curitiba: Ed. Organic Trading, 2009.

SOS Mata Atlântica. Atlas dos remanescentes florestais da mata atlântica – período 2015-2016.













Téman	Nama Danulan	Grau de	Grau de Ameaça		
Táxon	Nome Popular	Federal	Estadual		
Tinamiformes					
Tinamidae					
Crypturellus tataupa	inambu-chintã				
Anseriformes					
Anatidae					
Dendrocygna bicolor	marreca-caneleira				
Dendrocygna viduata	irerê				
Cairina moschata	pato-do-mato				
Amazonetta brasiliensis	ananaí				
Anas bahamensis	marreca-toicinho				
Galliformes					
Cracidae					
Penelope obscura	jacuguaçu				
Ortalis squamata	aracuã-escamoso				
Suliformes					
Fregatidae					
Fregata magnificens	tesourão				
Phalacrocoracidae					
Nannopterum brasilianus	biguá				
Pelecaniformes	Ŭ				
Ardeidae					
Nycticorax nycticorax	socó-dorminhoco				
Nyctanassa violacea	savacu-de-coroa				
Butorides striata	socozinho				
Bubulcus ibis	garça-vaqueira				
Ardea cocoi	garça-moura				
Ardea alba	garça-branca				
Syrigma sibilatrix	maria-faceira				
Egretta thula	garça-branca-pequena				
Egretta caerulea	garça-azul				
Threskiornithidae	02.12 2-2.				
Eudocimus ruber	guará	CR	CR		
Plegadis chihi	caraúna	Cit	Cit		
Phimosus infuscatus	tapicuru				
Platalea ajaja	colhereiro				
Cathartiformes	Comercino				
Cathartidae					











Cathartes aura	urubu-de-cabeça-vermelha		
Coragyps atratus	urubu		
Accipitriformes			
Accipitridae			
Elanoides forficatus	gavião-tesoura		
Geranospiza caerulescens	gavião-pernilongo		
Heterospizias meridionalis	gavião-caboclo		
Amadonastur lacernulatus	gavião-pombo-pequeno	VU	VU
Urubitinga urubitinga	gavião-preto		
Rupornis magnirostris	gavião-carijó		
Buteo brachyurus	gavião-de-cauda-curta		
Spizaetus tyrannus	gavião-pega-macaco		VU
Gruiformes			
Rallidae			
Rallus longirostris	saracura-matraca		VU
Aramides cajaneus	saracura-três-potes		
Aramides saracura	saracura-do-mato		
Gallinula galeata	galinha-d'água		
Charadriiformes			
Charadriidae			
Vanellus chilensis	quero-quero		
Charadrius semipalmatus	batuíra-de-bando		
Laridae			
Larus dominicanus	gaivotão		
Sternidae			
Thalasseus acuflavidus	trinta-réis-de-bando		
Columbiformes			
Columbidae			
Columbina talpacoti	rolinha		
Columba livia	pombo-doméstico		
Patagioenas picazuro	asa-branca		
Patagioenas cayennensis	pomba-galega		
Patagioenas plumbea	pomba-amargosa		
Zenaida auriculata	avoante		
Leptotila verreauxi	juriti-pupu		
Leptotila rufaxilla	juriti-de-testa-branca		
Cuculiformes			
Cuculidae			
Piaya cayana	alma-de-gato		
Crotophaga ani	anu-preto		
Guira guira	anu-branco		











Tapera naevia	saci	
Strigiformes		
Strigidae		
Megascops choliba	corujinha-do-mato	
Megascops atricapilla	corujinha-sapo	
Pulsatrix koeniswaldiana	murucututu-de-barriga-amarela	
Asio clamator	coruja-orelhuda	
Asio stygius	mocho-diabo	
Nyctibiiformes		
Nyctibiida		
Nyctibius griseus	urutau	
Caprimulgiformes		
Caprimulgidae		
Lurocalis semitorquatus	tuju	
Nyctidromus albicollis	bacurau	
Apodiformes		
Apodidae		
Streptoprocne zonaris	taperuçu-de-coleira-branca	
Chaetura cinereiventris	andorinhão-de-sobre-cinzento	
Chaetura meridionalis	andorinhão-do-temporal	
Trochilidae		
Ramphodon naevius	beija-flor-rajado	
Phaethornis squalidus	rabo-branco-pequeno	
Phaethornis eurynome	rabo-branco-de-garganta-rajada	
Eupetomena macroura	beija-flor-tesoura	
Aphantochroa cirrochloris	beija-flor-cinza	
Florisuga fusca	beija-flor-preto	
Anthracothorax nigricollis	beija-flor-de-veste-preta	
Chlorostilbon lucidus	besourinho-de-bico-vermelho	
Thalurania glaucopis	beija-flor-de-fronte-violeta	
Leucochloris albicollis	beija-flor-de-papo-branco	
Amazilia versicolor	beija-flor-de-banda-branca	
Amazilia fimbriata	beija-flor-de-garganta-verde	
Heliodoxa rubricauda	beija-flor-rubi	
Trogoniformes		
Trogonidae		
Trogon surrucura	surucuá-variado	
Trogon rufus	surucuá-dourado	
Coraciiformes		
Alcedinidae		
Megaceryle torquata	martim-pescador-grande	











		THE	1
CITTE	DOCTOLISATION	TIMATURE.	GEOLOG

Chloroceryle amazona	martim-pescador-verde	
Chloroceryle aenea	martim-pescador-miúdo	VU
Chloroceryle americana	martim-pescador-pequeno	
Galbuliformes		
Bucconidae		
Malacoptila striata	barbudo-rajado	
Piciformes		
Ramphastidae		
Ramphastos dicolorus	tucano-de-bico-verde	
Selenidera maculirostris	araçari-poca	
Picidae		
Picumnus temminckii	picapauzinho-de-coleira	
Melanerpes candidus	pica-pau-branco	
Melanerpes flavifrons	benedito-de-testa-amarela	
Veniliornis spilogaster	picapauzinho-verde-carijó	
Piculus flavigula	pica-pau-bufador	VU
Colaptes campestris	pica-pau-do-campo	
Celeus flavescens	pica-pau-de-cabeça-amarela	
Dryocopus lineatus	pica-pau-de-banda-branca	
Campephilus robustus	pica-pau-rei	
Falconiformes		
Falconidae		
Caracara plancus	carcará	
Milvago chimachima	carrapateiro	
Micrastur semitorquatus	falcão-relógio	
Psittaciformes		
Psittacidae		
Pyrrhura frontalis	tiriba	
Forpus xanthopterygius	tuim	
Brotogeris tirica	periquito-verde	
Pionopsitta pileata	cuiú-cuiú	
Pionus maximiliani	maitaca	
Amazona aestiva	papagaio	
Passeriformes		
Thamnophilidae		
Myrmotherula unicolor	choquinha-cinzenta	
Dysithamnus stictothorax	choquinha-de-peito-pintado	
Dysithamnus mentalis	choquinha-lisa	
Herpsilochmus rufimarginatus	chorozinho-de-asa-vermelha	
Thamnophilus caerulescens	choca-da-mata	
Hypoedaleus guttatus	chocão-carijó	











Myrmoderus squamosus	papa-formiga-de-grota	
Pyriglena leucoptera	papa-taoca-do-sul	
· · ·	papa-taoca-do-sui	
Conopophagidae	ahaan daasta	
Conopophaga lineata	chupa-dente	
Conopophaga melanops	cuspidor-de-máscara-preta	
Rhinocryptidae		
Eleoscytalopus indigoticus	macuquinho	
Formicariidae		
Formicarius colma	galinha-do-mato	
Chamaeza campanisona	tovaca-campainha	
Scleruridae		
Sclerurus scansor	vira-folha	
Dendrocolaptidae		
Dendrocincla turdina	arapaçu-liso	
Sittasomus griseicapillus	arapaçu-verde	
Xiphorhynchus fuscus	arapaçu-rajado	
Dendrocolaptes platyrostris	arapaçu-grande	
Xiphocolaptes albicollis	arapaçu-de-garganta-branca	
Xenopidae		
Xenops minutus	bico-virado-miúdo	
Xenops rutilans	bico-virado-carijó	
Furnariidae		
Furnarius rufus	joão-de-barro	
Lochmias nematura	joão-porca	
Philydor atricapillus	limpa-folha-coroado	
Philydor rufum	limpa-folha-de-testa-baia	
Heliobletus contaminatus	trepadorzinho	
Certhiaxis cinnamomeus	curutié	
Synallaxis ruficapilla	pichororé	
Synallaxis spixi	joão-teneném	
Pipridae		
Manacus manacus	rendeira	
Ilicura militaris	tangarazinho	
Chiroxiphia caudata	tangará	
, Tityridae	- J	
Schiffornis virescens	flautim	
Tityra cayana	anambé-branco-de-rabo-preto	
Pachyramphus castaneus	caneleiro	
Pachyramphus polychopterus	caneleiro-preto	
Pachyramphus validus	caneleiro-de-chapéu-preto	
Cotingidae		











		2-	
n count	Den. (BOIDBAACA)	THE AMERICAN	1
CHIL	00/20/10/0000	DAMITIES.	

Pyroderus scutatus	pavó		EN
Procnias nudicollis	araponga		
Platyrinchidae			
Platyrinchus mystaceus	patinho		
Platyrinchus leucoryphus	patinho-de-asa-castanha		VU
Rhynchocyclidae			
Mionectes rufiventris	abre-asa-de-cabeça-cinza		
Leptopogon amaurocephalus	cabeçudo		
Phylloscartes kronei	maria-da-restinga		
Phylloscartes oustaleti	papa-moscas-de-olheiras		
Tolmomyias sulphurescens	bico-chato-de-orelha-preta		
Todirostrum poliocephalum	teque-teque		
Poecilotriccus plumbeiceps	tororó		
Myiornis auricularis	miudinho		
Hemitriccus orbitatus	tiririzinho-do-mato		
Hemitriccus kaempferi	maria-catarinense	VU	VU
Tyrannidae			
Hirundinea ferruginea	gibão-de-couro		
Tyranniscus burmeisteri	piolhinho-chiador		
Camptostoma obsoletum	risadinha		
Elaenia flavogaster	guaracava-de-barriga-amarela		
Elaenia mesoleuca	tuque		
Phyllomyias fasciatus	piolhinho		
Serpophaga subcristata	alegrinho		
Attila phoenicurus	capitão-castanho		
Attila rufus	capitão-de-saíra		
Legatus leucophaius	bem-te-vi-pirata		
Ramphotrigon megacephalum	maria-cabeçuda		
Myiarchus swainsoni	irré		
Myiarchus ferox	maria-cavaleira		
Sirystes sibilator	gritador		
Pitangus sulphuratus	bem-te-vi		
Machetornis rixosa	suiriri-cavaleiro		
Myiodynastes maculatus	bem-te-vi-rajado		
Megarynchus pitangua	neinei		
Myiozetetes similis	bentevizinho-de-penacho-vermelho		
Tyrannus melancholicus	suiriri		
Tyrannus savana	tesourinha		
Empidonomus varius	peitica		
Myiophobus fasciatus	filipe		
Fluvicola nengeta	lavadeira-mascarada		











		THE COTTLINE IN
nemotriccus fuscatus	guaracavuçu	
throtriccus euleri	enferrujado	

Cnemotriccus fuscatus guaracavuçu enferrujado Satrapa icterophrys suiriri-pequeno Muscipipra vetula tesoura-cinzenta Vireonidae Cyclarhis gujanensis pitiguari Hylophilus poicilotis verdinho-coroado Vireo chivi juruviara Corvidae Cyanocorax caeruleus gralha-azul Hirundinidae Hygochelidon cyanoleuca andorinha-pequena-de-casa Stelgidoptenyx ruficollis andorinha-serradora Progne tabera andorinha-grande Tachycineta leucorrhoa andorinha-de-sobre-branco Troglodytes musculus corruira Cantorchilus longirostris garrinchão-de-bico-grande Turdus flavipes Sabiá-branco Turdus gralhas sabiá-poca Turdus amaurochalinus Sabiá-poca Turdus amaurochalinus Passerellidae Zonotrichia capensis Evolphaga pitioyumi mariquita Geothlypis aequinoctialis pia-cobra Basileuterus culicivorus pula-pula Myiothlypis rivularis chujim Mitrospingidae Mitrospingidae Orthogonys chloricterus Tiruqua en andorinha de sobre propeto con passaro-preto Chrysomus ruficopillus Mitrospingidae Orthogonys chloricterus Catirumbava Tiruquae Diprae dee melanonota Safa-viúva	Cnamatricsus fuscatus	guaracay#ugu	
Satrapa icterophrys Muscipipra vetula Vireonidae Cyclarhis gujanensis Hylophilus poicilotis Verdinho-coroado Vireo chivi juruviara Cyanocorox coeruleus Hirundinidae Pygochelidon cyanoleuca Stelgidopteryx ruficollis Progne tapera andorinha-pequena-de-casa Stelgidopteryx ruficollis andorinha-grande Troglodytidae Troglodytidae Turdus glavipes Turdus glavipes Turdus amaurochalinus Sabiá-laranjeira Turdus amaurochalinus Passerellidae Zonotrichia capensis tico-tico Parulidae Zonotrichia capensis Ecteridae Geothlyppis aequinoctialis Basileuterus culicivorus pula-pula Myiothlypis rivularis passero pissaro pissaro-preto Chrysomus culoricrus garibaldi Molothrus bonariensis chupim Mitrospingidae Orthogonys chloricterus Catirumbava Mitrospingidae Orthogonys chloricterus Catirumbava Thraupidae			
Muscipipra vetula Vireonidae Cyclarhis gujanensis Hylophillus poicilotis Vireo chivi Juruviara Corvidae Cyanocorax coeruleus Hirundinidae Pygochelidon cyanoleuca andorinha-pequena-de-casa Stelgidopteryx ruficollis andorinha-grande Progne tapera Progne tapera andorinha-de-sobre-branco Troglodytidae Troglodytes musculus Cantorchilus longirostris garrinchão-de-bico-grande Turdus flavipes Sabiá-una Turdus rufiventris sabiá-poca Turdus rufiventris Sabiá-coleira Passerellidae Zonotrichia capensis Etico-tico Parulidae Zonotrichia capensis Basileuterus culicivorus Mylothlypis rivularis Basileuterus culoris garsa de colora Busileus de colora Basileuterus culicivorus Mylothlypis rivularis Lateridae Cacicus haemarchapilus garibaldi Molothrus bonariensis chupim Mitrospingidae Orthogonys chloricterus Catirumbava Thraupidae Catirumbava Turdus garibaldi Chupim Mitrospingidae Orthogonys chloricterus Catirumbava Thraupidae			
Vireonidae Cyclarhis gujanensis Hylophilus poicilotis verdinho-coroado Vireo chivi juruviara Corvidae Cyanocorax caeruleus gralha-azul Hirundinidae Pygochelidon cyanoleuca Stelgidopteryx ruficollis andorinha-pequena-de-casa Stelgidopteryx ruficollis andorinha-serradora Progne tapera andorinha-de-campo Progne chalybea andorinha-grande Tachycineta leucorrhoa andorinha-de-sobre-branco Troglodytidae Troglodytes musculus Corruíra Corruíra Cantorchilus longirostris garrinchão-de-bico-grande Turdus flavipes sabiá-una Turdus flavipes sabiá-laranjeira Turdus leucomelas sabiá-branco Turdus sufivientris sabiá-branco Turdus ungivientris sabiá-branco Turdus albicollis sabiá-poca Turdus albicollis sabiá-coleira Passerellidae Passerellidae Zonotrichia capensis tico-tico Parulidae pascapa pitiouru			
Cyclarhis gujanensis pitiguari Hylophilus poicilotis verdinho-coroado Vireo chivi juruviara Corvidae Cyanocorax caeruleus gralha-azul Hirundinidae Pygochelidon cyanoleuca andorinha-pequena-de-casa Stelgidopteryx ruficollis andorinha-serradora progne tapera andorinha-de-campo Progne tapera andorinha-de-sobre-branco Troglodytidae Troglodytidae Troglodytes musculus corruíra Cantorchilus longirostris garrinchão-de-bico-grande Turdus flavipes sabiá-branco Turdus leucomelas sabiá-branco Turdus rufiventris sabiá-laranjeira Turdus amaurochalinus sabiá-poca Turdus abicollis sabiá-coleira Paserellidae Zonotrichia capensis tico-tico Parulidae Setophaga pitioyumi mariquita Geothlypis aequinoctialis pia-cobra Basileuterus culicivorus pula-pula Mylothlypis rivularis pássaro-preto Chrysomus ruficapillus garibaldi Molothrus bonoriensis Mitrospingidae Orthogonys chloricterus Cartirumbava Thraupidae Orthogonys chloricterus Cartirumbava Thraupidae Thraupidae Cartirumbava Thraupidae Cartirumbava Thraupidae	· ·	tesoura-cinzenta	
Hylophilus poicilotis verdinho-coroado Vireo chivi juruviara Cyanocorox caeruleus gralha-azul Hirundinidae Pygochelidon cyanoleuca andorinha-pequena-de-casa Stelgidopteryx ruficollis andorinha-serradora Progne tapera andorinha-do-campo Progne chalybea andorinha-de-sobre-branco Troglodytidae Troglodytes musculus corruíra Cantorchilus longirostris garrinchão-de-bico-grande Turdus flavipes Sabiá-una Turdus elucomelas sabiá-branco Turdus rufiventris sabiá-laranjeira Turdus amaurochalinus sabiá-poca Turdus albicollis sabiá-coleira Passerellidae Zonotrichia capensis tico-tico Parulidae Setophaga pitiayumi mariquita Geothlypis aequinoctialis pia-cobra Basileuterus culicivorus pula-pula Myiothypis rivularis pássaro-preto Chrysomus ruficapillus Molothrus bonariensis chupim Mitrospingidae Orthogonys chloricterus Cartirumbava Thraupidae Orthogonys chloricterus Cardinade Cacicus haemorrhous Ritrospingidae Orthogonys chloricterus Cardinade-casa Andorinha-pequena-de-casa Andorinha-de-campo Ando			
Vireo chivi Corvidae Cyanocorax caeruleus Hirundinidae Pygochelidon cyanoleuca Stelgidopteryx ruficollis Progne tapera Progne chalybea Troglodytidae Troglodytes musculus Cantorchilus longirostris Turdus glavicollis Sabiá-una Turdus amaurochalinus Turdus amaurochalinus Sabiá-poca Turdus amaurochalinus Passerellidae Setophaga pitiayumi Geothlypis aequinoctialis Basileuterus culicivorus Mitrospingidae Chrivospus chalybea Ryanorus delacuseus Ryanor			
Corvidae Cyanocorax caeruleus Hirundinidae Pygochelidon cyanoleuca Stelgidopteryx ruficollis Andorinha-pequena-de-casa Stelgidopteryx ruficollis Andorinha-serradora Progne tapera Andorinha-do-campo Progne chalybea Andorinha-de-sobre-branco Troglodytidae Troglodytes musculus Cantorchilus longirostris Turdidae Turdus flavipes Sabiá-una Turdus leucomelas Turdus rufiventris Sabiá-laranjeira Turdus amaurochalinus Sabiá-poca Turdus abicollis Passerellidae Zonotrichia capensis tico-tico Parulidae Setophaga pitiayumi Geotthlypis aequinoctialis Basileuterus culicivorus Myiothlypis rivularis Icteridae Cacicus haemorrhous Gnorimopsar chopi Chrysomus ruficapillus Mitrospingidae Orthogonys chloricterus Catirumbava Thraupidae Cacicus haericensis Candorinha-gequena-de-casa Andorinha-pequena-de-casa Andorinha-de-casa Andorinha-de-ca			
Cyanocorax caeruleus Gralha-azul		juruviara	
Hirundinidae Pygochelidon cyanoleuca andorinha-pequena-de-casa Stelgidopteryx ruficollis andorinha-serradora Progne tapera andorinha-do-campo Progne chalybea andorinha-grande Tachycineta leucorrhoa andorinha-de-sobre-branco Troglodytidae Troglodytes musculus corruíra Cantorchilus longirostris garrinchão-de-bico-grande Turdis flavipes sabiá-una Turdus flavipes sabiá-branco Turdus rufiventris sabiá-laranjeira Turdus andurochalinus sabiá-coleira Passerellidae Zonotrichia capensis tico-tico Parulidae Setophaga pitiayumi mariquita Geothlypis aequinoctialis pia-cobra Basileuterus culicivorus pula-pula Myiothlypis rivularis pala-pula-ribeirinho Icteridae Cacicus haemorrhous guaxe Gnorimopsar chopi pássaro-preto Chrysomus ruficapillus Mitrospingidae Orthogonys chloricterus Catirumbava Thraupidae			
Pygochelidon cyanoleuca andorinha-pequena-de-casa Stelgidopteryx ruficollis andorinha-serradora Progne tapera andorinha-do-campo Progne chalybea andorinha-grande Tachycineta leucorrhoa andorinha-de-sobre-branco Troglodytdae Troglodytes musculus Contorchilus longirostris garrinchão-de-bico-grande Turdus longirostris garrinchão-de-bico-grande Turdus flavipes sabiá-una Turdus gleucomelas sabiá-branco Turdus leucomelas sabiá-laranjeira Turdus amaurochalinus sabiá-poca Turdus albicollis sabiá-coleira Passerellidae Passerellidae Zonotrichia capensis tico-tico Parulidae Setophaga pitiayumi Geothlypis aequinoctialis pia-cobra Basileuterus culicivorus pula-pula Myiothlypis rivularis pula-pula-ribeirinho Icteridae Cacicus haemorrhous Gnorimopsar chopi pássaro-preto Chrysomus ruficapillus garibaldi Molothrus bonariensis chupim Orthogonys chloricterus catirumbava		graina-azui	
Stelgidopteryx ruficollis andorinha-serradora andorinha-do-campo Progne tapera andorinha-do-campo andorinha-grande Tachycineta leucorrhoa andorinha-de-sobre-branco Troglodytae Turdidae Turdidae Turdidae Turdidae Turdidae Sabiá-una Sabiá-una Sabiá-branco Turdus eucomelas sabiá-branco Sabiá-laranjeira Turdus amaurochalinus sabiá-poca Sabiá-coleira Passerellidae Setophaga pitiayumi mariquita Geothlypis aequinoctialis pia-cobra Basileuterus culicivorus pula-pula Myiothlypis rivularis pássaro-preto Chrysomus ruficapilus Christonia Culimbar Sabiá-laringidae Corthogonys chloricterus Catirumbava Candorichia catirumbava			
Progne tapera andorinha-do-campo Progne chalybea andorinha-grande Tachycineta leucorrhoa andorinha-de-sobre-branco Troglodytidae Troglodytes musculus corruíra Cantorchilus longirostris garrinchão-de-bico-grande Turdidae Turdus flavipes sabiá-una Turdus leucomelas sabiá-branco Turdus rufiventris sabiá-laranjeira Turdus amaurochalinus sabiá-poca Turdus albicollis sabiá-coleira Passerellidae Zonotrichia capensis tico-tico Parulidae Setophaga pitiayumi mariquita Geothlypis aequinoctialis pia-cobra Basileuterus culicivorus pula-pula Myiothlypis rivularis pusa-pula-pibeirinho Icteridae Cacicus haemorrhous guaxe Gnorimopsar chopi pássaro-preto Chrysomus ruficapillus garibaldi Molothrus bonariensis chupim Mitrospingidae Orthogonys chloricterus Catirumbava Thraupidae	, ,		
Progne chalybea andorinha-grande Tachycineta leucorrhoa andorinha-de-sobre-branco Troglodytidae Troglodytes musculus Cantorchilus longirostris garrinchão-de-bico-grande Turdus flavipes Sabiá-una Turdus leucomelas sabiá-branco Turdus rufiventris sabiá-laranjeira Turdus amaurochalinus sabiá-coleira Passerellidae Zonotrichia capensis tico-tico Parulidae Setophaga pitiayumi mariquita Geothlypis aequinoctialis pia-cobra Basileuterus culicivorus pula-pula Myiothlypis rivularis pássaro-preto Cacicus haemorrhous guaxe Gnorimopsar chopi pássaro-preto Chrysomus ruficapillus Mitrospingidae Orthogonys chloricterus Catirumbava Thraupidae			
Trachycineta leucorrhoa Troglodytidae Troglodytes musculus Cantorchilus longirostris Turdidae Turdus flavipes Turdus leucomelas Turdus rufiventris Sabiá-laranjeira Turdus amaurochalinus Passerellidae Zonotrichia capensis Estophaga pitiayumi Geothlypis aequinoctialis Basileuterus culicivorus Myiothlypis rivularis Icteridae Cacicus haemorrhous Genrimopsar chopi Chrysomus ruficepillus Mitrospingidae Orthogonys chloricterus Traupidae Corruíra Andorinha-de-sobre-branco Turúra Sandorinha-de-sobre-branco Corruíra Sandorinha-de-sobre-branco Corruíra Sandorinha-de-sobre-branco Sandorinha Sandorinha-de-sobre-branco Sandorinha-de-sobre-branco Sandorinha-de-sobre-branco Sandorinha-de-sobre-branco Sandorinha Sabiá-cole-place-bico-grande Sabiá-branco Sabiá-branco Sabiá-branco Sabiá-branco Sabiá-branco Sabiá-branco Sabiá-branco Sabiá-laranjeira Sabiá-laranjeira Sabiá-laranjeira Sabiá-poca Sabiá-laranjeira Sabiá-cole-ira Passerellidae Sabiá-cole-ira Passerellidae Setophaga pitiagumi mariquita Setophaga pitiagumi spia-cobra	· ·	•	
Troglodytidae Troglodytes musculus Cantorchilus longirostris garrinchão-de-bico-grande Turdidae Turdus flavipes Sabiá-una Turdus rufiventris Sabiá-laranjeira Turdus amaurochalinus Turdus albicollis Passerellidae Zonotrichia capensis Estophaga pitiayumi Geothlypis aequinoctialis Basileuterus culicivorus Myiothlypis rivularis Cacicus haemorrhous Gnorimopsar chopi Chrysomus ruficapillus Mitrospingidae Orthogonys chloricterus Turdus alpicoltris Gorinopsar choricterus Mitrospingidae Orthogonys chloricterus Thraupidae Cacicus haemorrhous Cacicus haemorrhous Geria Grandia Cacicus haemorrhous Geria Grandia Cacicus haemorrhous Geria Geria Grandia Cacicus haemorrhous Geria Geria Grandia Cacicus haemorrhous Geria Geria Geria Cacicus haemorrhous Geria C			
Troglodytes musculus Cantorchilus longirostris garrinchão-de-bico-grande Turdidae Turdus flavipes Sabiá-una Turdus leucomelas Turdus rufiventris Sabiá-laranjeira Turdus amaurochalinus Turdus albicollis Sabiá-coleira Passerellidae Zonotrichia capensis Etophaga pitiayumi Geothlypis aequinoctialis Basileuterus culicivorus Myiothlypis rivularis Dicteridae Cacicus haemorrhous Genorimopsar chopi Chrysomus ruficapillus Molothrus bonariensis Mitrospingidae Orthogonys chloricterus Turdus albicollis Sabiá-coleira Sabiá-coleira mariquita pia-cobra pia-cobra pula-pula pula-pula pula-pula pula-pula pula-pula pula-pula-ribeirinho Cacicus haemorrhous guaxe Gnorimopsar chopi Chrysomus ruficapillus Molothrus bonariensis chupim Mitrospingidae Orthogonys chloricterus Thraupidae	· · · · · · · · · · · · · · · · · · ·	andorinha-de-sobre-branco	
Cantorchilus longirostris garrinchão-de-bico-grande Turdidae			
Turdidae Turdus flavipes Sabiá-una Turdus rufiventris Sabiá-laranjeira Turdus amaurochalinus Turdus albicollis Passerellidae Zonotrichia capensis Setophaga pitiayumi Geothlypis aequinoctialis Basileuterus culicivorus pula-pula-ribeirinho Icteridae Cacicus haemorrhous Gnorimopsar chopi Chrysomus ruficapillus Mitrospingidae Orthogonys chloricterus Turdus abiá-branco Sabiá-laranjeira Sabiá-laranjeira Sabiá-laranjeira Turdus abiá-poca Sabiá-coleira Babiá-coleira Itico-tico Parulidae Itico-tico Mariquita mariquita pia-cobra pula-pula pula-pula pula-pula-ribeirinho Icteridae Cacicus haemorrhous guaxe Gnorimopsar chopi Chrysomus ruficapillus Molothrus bonariensis chupim Mitrospingidae Orthogonys chloricterus Catirumbava		corruíra	
Turdus flavipes Turdus leucomelas Sabiá-branco Sabiá-branco Sabiá-branco Turdus rufiventris Sabiá-poca Turdus amaurochalinus Turdus albicollis Sabiá-coleira Passerellidae Zonotrichia capensis tico-tico Parulidae Setophaga pitiayumi Geothlypis aequinoctialis Basileuterus culicivorus Myiothlypis rivularis pula-pula-ribeirinho Icteridae Cacicus haemorrhous Gnorimopsar chopi Chrysomus ruficapillus Molothrus bonariensis Orthogonys chloricterus Thraupidae		garrinchão-de-bico-grande	
Turdus leucomelas sabiá-branco Turdus rufiventris sabiá-laranjeira Turdus amaurochalinus sabiá-poca Turdus albicollis sabiá-coleira Passerellidae Zonotrichia capensis tico-tico Parulidae Setophaga pitiayumi mariquita Geothlypis aequinoctialis pia-cobra Basileuterus culicivorus pula-pula Myiothlypis rivularis pula-pula-ribeirinho Icteridae Cacicus haemorrhous guaxe Gnorimopsar chopi pássaro-preto Chrysomus ruficapillus garibaldi Molothrus bonariensis chupim Mitrospingidae Orthogonys chloricterus Thraupidae	Turdidae		
Turdus rufiventris sabiá-laranjeira sabiá-poca sabiá-poca sabiá-poca sabiá-coleira sab	Turdus flavipes	sabiá-una	
Turdus amaurochalinus Sabiá-poca Turdus albicollis Sabiá-coleira Passerellidae Zonotrichia capensis tico-tico Parulidae Setophaga pitiayumi Geothlypis aequinoctialis pia-cobra Basileuterus culicivorus pula-pula Myiothlypis rivularis pula-pula-ribeirinho Icteridae Cacicus haemorrhous Gnorimopsar chopi Chrysomus ruficapillus Molothrus bonariensis Mitrospingidae Orthogonys chloricterus Thraupidae	Turdus leucomelas	sabiá-branco	
Turdus albicollis Passerellidae Zonotrichia capensis tico-tico Parulidae Setophaga pitiayumi Geothlypis aequinoctialis Basileuterus culicivorus Myiothlypis rivularis Cacicus haemorrhous Gnorimopsar chopi Chrysomus ruficapillus Molothrus bonariensis Mitrospingidae Orthogonys chloricterus Thraupidae	Turdus rufiventris	sabiá-laranjeira	
Passerellidae Zonotrichia capensis tico-tico Parulidae Setophaga pitiayumi	Turdus amaurochalinus	sabiá-poca	
Zonotrichia capensis Parulidae Setophaga pitiayumi mariquita Geothlypis aequinoctialis pia-cobra Basileuterus culicivorus pula-pula Myiothlypis rivularis pula-pula-ribeirinho Icteridae Cacicus haemorrhous guaxe Gnorimopsar chopi pássaro-preto Chrysomus ruficapillus garibaldi Molothrus bonariensis chupim Mitrospingidae Orthogonys chloricterus Thraupidae	Turdus albicollis	sabiá-coleira	
Parulidae Setophaga pitiayumi mariquita Geothlypis aequinoctialis pia-cobra Basileuterus culicivorus pula-pula Myiothlypis rivularis pula-pula-ribeirinho Icteridae Cacicus haemorrhous guaxe Gnorimopsar chopi pássaro-preto Chrysomus ruficapillus garibaldi Molothrus bonariensis chupim Mitrospingidae Orthogonys chloricterus Thraupidae	Passerellidae		
Setophaga pitiayumi mariquita Geothlypis aequinoctialis pia-cobra Basileuterus culicivorus pula-pula Myiothlypis rivularis pula-pula-ribeirinho Icteridae Cacicus haemorrhous guaxe Gnorimopsar chopi pássaro-preto Chrysomus ruficapillus garibaldi Molothrus bonariensis chupim Mitrospingidae Orthogonys chloricterus Thraupidae	Zonotrichia capensis	tico-tico	
Geothlypis aequinoctialis Basileuterus culicivorus Myiothlypis rivularis pula-pula-ribeirinho Icteridae Cacicus haemorrhous Gnorimopsar chopi Chrysomus ruficapillus Molothrus bonariensis Mitrospingidae Orthogonys chloricterus Thraupidae	Parulidae		
Basileuterus culicivorus pula-pula Myiothlypis rivularis pula-pula-ribeirinho Icteridae Cacicus haemorrhous guaxe Gnorimopsar chopi pássaro-preto Chrysomus ruficapillus garibaldi Molothrus bonariensis chupim Mitrospingidae Orthogonys chloricterus catirumbava Thraupidae	Setophaga pitiayumi	mariquita	
Myiothlypis rivularis pula-pula-ribeirinho Icteridae Cacicus haemorrhous guaxe Gnorimopsar chopi pássaro-preto Chrysomus ruficapillus garibaldi Molothrus bonariensis chupim Mitrospingidae Orthogonys chloricterus Thraupidae	Geothlypis aequinoctialis	pia-cobra	
Icteridae guaxe Cacicus haemorrhous guaxe Gnorimopsar chopi pássaro-preto Chrysomus ruficapillus garibaldi Molothrus bonariensis chupim Mitrospingidae catirumbava Orthogonys chloricterus catirumbava Thraupidae	Basileuterus culicivorus	pula-pula	
Cacicus haemorrhous guaxe Gnorimopsar chopi pássaro-preto Chrysomus ruficapillus garibaldi Molothrus bonariensis chupim Mitrospingidae Orthogonys chloricterus Thraupidae catirumbava	Myiothlypis rivularis	pula-pula-ribeirinho	
Gnorimopsar chopi pássaro-preto Chrysomus ruficapillus garibaldi Molothrus bonariensis chupim Mitrospingidae Orthogonys chloricterus catirumbava Thraupidae	Icteridae		
Gnorimopsar chopi pássaro-preto Chrysomus ruficapillus garibaldi Molothrus bonariensis chupim Mitrospingidae Orthogonys chloricterus catirumbava Thraupidae	Cacicus haemorrhous	guaxe	
Molothrus bonariensis chupim Mitrospingidae Orthogonys chloricterus catirumbava Thraupidae	Gnorimopsar chopi		
Molothrus bonariensis chupim Mitrospingidae Orthogonys chloricterus catirumbava Thraupidae	Chrysomus ruficapillus	garibaldi	
Mitrospingidae Orthogonys chloricterus catirumbava Thraupidae			
Thraupidae	Mitrospingidae		
Thraupidae		catirumbava	
	•	saíra-viúva	



Euphonia chalybea

Euphonia pectoralis

Passer domesticus

Estrilda astrild

Estrildidae

Passeridae









Tangara seledon	saíra-sete-cores		
Tangara cyanocephala	saíra-militar		
Tangara sayaca	sanhaço-cinzento		
Tangara palmarum	sanhaço-do-coqueiro		
Tangara ornata	sanhaço-de-encontro-amarelo		
Tangara peruviana	saíra-sapucaia		EN
Tangara preciosa	saíra-preciosa		
Conirostrum bicolor	figuinha-do-mangue		VU
Sicalis flaveola	canário-da-terra		
Haplospiza unicolor	cigarra-bambu		
Chlorophanes spiza	saí-verde		
Hemithraupis ruficapilla	saíra-ferrugem		
Volatinia jacarina	tiziu		
Trichothraupis melanops	tiê-de-topete		
Lanio cristatus	tiê-galo		EN
Tachyphonus coronatus	tiê-preto		
Ramphocelus bresilius	tiê-sangue		VU
Tersina viridis	saí-andorinha		
Dacnis cayana	saí-azul		
Coereba flaveola	cambacica		
Tiaris fuliginosus	cigarra-preta		
Sporophila frontalis	pixoxó	VU	VU
Sporophila caerulescens	coleirinho		
Sporophila angolensis	curió		
Saltator similis	trinca-ferro		
Cardinalidae			
Habia rubica	tiê-de-bando		
Fringillidae			
Euphonia violacea	gaturamo		

cais-cais

pardal

ferro-velho

bico-de-lacre











	İ	adas na região. Grau de Ameaça	
Táxon	Nome Popular	Federal	Estadua
ANFÍBIOS			
Brachycephalidae			
Ischnocnema sp. (gr. guenteri)	rã-do-mato		
Ischnocnema sp. (aff. manezinho)	Rãzinha-do-folhiçoda-ilha	EN	VU
Bufonidae			
Rhinella abei	sapo-galinha		
Rhinella icterica	sapo-comum		
Dendrophryniscus cf. berthalutzae	sapinho-das-bromélias		
Craugastoridae			
Haddadus binotatus	rã		
Cycloramphidae			
Cycloramphus bolitoglossus	sapinho-de- riacho		
Hemiphractidae			
Fritziana sp. (aff. fissilis)			
Hylidae			
Aplastodiscus ehrhardti	perereca-flautinhade-Ehrhardt		VU
Boana albomarginata	perereca-araponga		
Boana faber	Sapo-martelo		
Boana semilineata	perereca dormideira		
Bokermannohyla hylax	perereca		
Dendropsophus berthalutze			
Dendropsophus elegans	perereca-de-moldura		
Dendropsophus microps	perereca		
Dendropsophus minutus	perereca		
Dendropsophus werneri	perereca		
Ololygon argyreornata	Pererequinha rugosa		
Ololygon littoralis	Perereca-do-litoral		
Ololygon sp. (gr. perpusilla)			
Phyllomedusa distincta	perereca-verde		
Scinax imbegue	perereca		
Scinax perereca	perereca		
Scinax tymbamirim	perereca		
Trachycephalus mesophaeus	perereca-leiteira		
Hylodidae			
Hylodes perplicatus	rã-dos-riachos		
		+	_

Rãzinha

Leptodactylidae

Adenomera araucaria Adenomera bokermanii











Adenomera nana			
Leptodactylus latrans	Rã-manteiga		
Leptodactylus notoaktites	rã		
Physalaemus cuvieri	rã-cachorro		
Physalaemus lateristriga	rã-bugio		
Physalaemus gr. signifer	rãzinha		
Microhylidae			
Elachistocleis bicolor	Sapinho-guarda		
RÉPTEIS			
Testudines/Chelidae			
Phrynops hilarii	cágado-de-barbelas-cinzento		
Testudines/Emydidae			
Trachemys dorbigni	tartaruga-tigre-d'água		
Trachemys scripta	Tigre d'água da orelha vermelha	Espécie exótica	
Crocodylia/Alligatoridae			
Caiman latirostris	Jacaré-de-papo-amarelo		
Squamata/ Anguidae			
Ophiodes striatus	Cobra-de-vidro		
Gekkonidae			
Hemidactylus mabouia	lagartixa-de-parede	Espécie exótica	
Leiosauridae			
Enyalius iheringii	Iguaninha		
Teiidae			
Salvator merianae	Teiú-gigante		
Amphisbaenidae			
Leposternon microcephalum	Cobra-cega-de-duas-cabeças		
Serpentes/Colubridae			
Chironius bicarinatus	Cobra-cipó-verde		
Spilotes pullatus	Caninana		
Dipsadidae			
Dipsas incerta	Come-Lesma, Dormideira, Dormideira-de-Árvore		
Erythrolamprus miliaris orinus	Cobra-D'água, Cobra-D'Água- Milhete, Cobra-de-Banhado		
Oxyrhopus clathratus	Falsa-Coral Serrana		
Sibynomorphus neuwiedi	Dormideira Cinzenta		
Xenodon neuwiedii	Boipeva-da-Mata		
Viperidae	·		
Bothrops jararaca	Jararaca		











Lista sisteili	sta sistemática de espécies de peixes observadas na região.				
Táxon	Nome Popular	Grau de Amea			
Characiformes		reuerai	Estadual		
Characidae					
Astyanax laticeps	Lambari				
Hollandichthys multifasciatus	Lambari listrado		EN		
Hyphessobrycon boulengeri	Lambari		LIN		
Hyphessobrycon griemi	Engraçadingo, lambari				
· · · · · · · · · · · · · · · · · · ·	Piabinha azul				
Mimagoniates microlepis		\ \ \ \ \ \ \ \ \ \ \ \ \ \ \ \ \ \ \	CD		
Spintherobolus ankoseion	Lambari; piabinha	VU	CR		
Cyprinodontiformes					
Poeciliidae					
Phalloceros megapolos	Barrigudinho				
Phalloceros spiloura	Barrigudinho				
Poecilia reticulata	lebiste, barrigudinho ou guaru				
Xiphophorus helleri	Peixe-espada ou Espadarte marinho				
Rivulidae					
Atlantirivulus haraldsiolii			VU		
Gymnotiformes					
Gymnotidae					
Gymnotus pantherinus					
Gymnotus sylvius					
Perciformes					
Cichlidae					
Geophagus brasiliensis	cará, acará-papa-terra, ou acará-diadema				
Oreochromis niloticus	Tilápia-do-nilo				
Siluriformes	·				
Callichthyidae					
Callichthys callichthys	tambuatá				
Corydoras ehrhardti	Coridora Mármore				
Scleromystax barbatus	Coridora-bandada				
Loricariidae					
Hypostomus commersoni	pirá-tatu				
Pseudotothyris obtusa					
Heptapteridae					
Rhamdia quelen	Jundiá				
Synbranchiformes					
Synbranchidae					
Synbranchus marmoratus	muçum, muçu, peixe-cobra, enguia-d'água- doce				











	\mathcal{Q}_{1}	-	1		
10001	DOCUMENTO)	THE ARMSTON	GROLOGIA	DOMESTIC .	

T fo.u	Nama Bandan	Grau de Ameaç	
Táxon	Nome Popular	Federal	Estadua
Didelphimorphia			
Didelphidae			
Didelphis aurita	Gambá-de-orelha-preta		
Didelphis albiventris	Gambá-de-orelha-branca		
Gracilinanus cf. microtarsus	Cuíca		
Pilosa			
Myrmecophagidae			
Tamandua tetradactyla	Tamanduá-mirim		
Cingulata			
Dasypodidae			
Dasypus novemcinctus	Tatu-galinha		
Cabassous tatouay	Tatu-rabo-mole		
Chiroptera			
Vespertilionidae			
Myotis nigricans	Morcego		
Chiroptera			
Phyllostomidae			
Artibeus lituratus	Morcego-das-frutas		
Sturnira lilium	Morcego		
Carollia perspicillata	Morcego		
Artibeus fimbriatus	Morcego-das-frutas		
Artibeus obscurus	Morcego-das-frutas		
Mimon bennetti	Morcego		
Micronycteris megalotis	Morcego		VU
Pygoderma bilabiatum	Morcego		
Anoura caudifera	Morcego-beija-flor		
Noctilio leporinus	Morcego-pescador		
Carnivora			
Canidae			
Cerdocyon thous	Graxaim		
Carnivora			
Felidae			
Leopardus sp.	Gato-do-mato		
Carnivora			
Procyonidae			
Nasua nasua	Quati		
Procyon cancrivorus	Mão-pelada		
Rodentia	·		



Canis familiaris









Cicretidae			
Akodon cf. montensis	Rato-do-mato		
Euryoryzomys russatus	Rato-do-mato		
Oligoryzomys cf. nigripes	Rato-do-mato		
Rodentia			
Caviidae			
Cavia cf. fulgida	Preá		
Rodentia			
Hydrochoeridae			
Hydrochoerus hydrochaeris	Capivara		
Rodentia			
Dasyproctidae			
Dasyprocta azarae	Cutia		
Rodentia			
Cuniculidae			
Cuniculus paca	Paca		VU
Rodentia			
Erethizontidae			
Coendou spinosus	Ouriço		
Rodentia			
Sciuridae			
Guerlinguetus ingrami	Esquilo	Exóticas	
Primates			
Callitrichidae			
Callithrix penicillata	Sagui-de-tufo-preto		
Carnivora			
Canidae			
i e e e e e e e e e e e e e e e e e e e			

Cão